

บทที่ 2

เอกสารและงานวิจัยที่เกี่ยวข้อง

บทนี้กล่าวถึงทฤษฎีเอกสารและงานวิจัยที่เกี่ยวข้องกับงานวิจัยนี้ ประกอบด้วย กระบวนการเคลือบฟิล์มบาง การก่อเกิดฟิล์มบาง การเคลือบฟิล์มบางด้วยวิธีสปัตเตอริง กระบวนการ โกล์ดิสชาร์จ ระบบเคลือบแบบดิซี สปัตเตอริง ระบบเคลือบแบบดิซี แมกนีตรอน สปัตเตอริง ระบบเคลือบแบบอันนาลานซ์ แมกนีตรอน สปัตเตอริง การเคลือบฟิล์มบางด้วยวิธีรีแอคติฟ สปัตเตอริง การหลักยณะเฉพาะของฟิล์มบาง ไทเทนิยม ไดออกไซด์ และงานวิจัยที่เกี่ยวข้อง ซึ่งมีรายละเอียดดังนี้

กระบวนการเคลือบฟิล์มบาง

การเคลือบฟิล์มบาง (Thin Film) ในสัญญาศาสตร์รังแรกทำโดย Bunsen และ Grove ในปี ค.ศ.1852 โดยพื้นฐานแล้วแนวคิดเกี่ยวกับ การเคลือบในสัญญาศาสตร์หรือการเคลือบฟิล์มบาง คือ การเรียงตัว (Fabricated) โดยการเคลือบ (Deposition) ของสารเคลือบในลักษณะอะตอมเดียว บนวัสดุรองรับ (Substrate) จนเกิดเป็นชั้นของฟิล์มที่บางมาก ในระดับนาโนเมตรถึงไมโครเมตร จึงอาจกล่าวได้ว่า “ฟิล์มบาง (Thin Film) หมายถึงชั้นของอะตอมหรือกลุ่มของอะตอมที่จับรวมกัน เป็นชั้นบาง ๆ” ออย่างไรก็ได้การระบุว่าฟิล์มใดเป็น“ฟิล์มบาง” นั้นอาจพิจารณาได้จากลักษณะ การใช้งานว่าใช้สมบัติด้านใดของฟิล์มกล่าวคือถ้าเป็นการใช้สมบัติเชิงผิว (Surface Properties) จะเรียกฟิล์มนั้นว่า “ฟิล์มบาง” แต่ถ้าเป็นการใช้สมบัติเชิงปริมาตร (Bulk Properties) จะเรียกฟิล์มนั้นว่า “ฟิล์มหนา” ทั้งนี้จะเห็นว่า ฟิล์มเดียวกันนั้นอาจเป็นทั้ง “ฟิล์มบาง” หรือ “ฟิล์มหนา” ก็ได้ ขึ้นกับลักษณะการใช้งานเป็นสำคัญ (Bunshah, 1994)

ปัจจุบันมีการนำฟิล์มบางมาประยุกต์ใช้ในงานด้านต่าง ๆ มากมาย เช่น งานด้าน อิเล็กทรอนิกส์ ได้แก่ สารกึ่งตัวนำ ฟิล์มตัวนำ และฟิล์มตัวต้านทาน หรืองานด้านทัศนศาสตร์ เช่น เลนส์ กระจกสะท้อนแสง กระจกสะท้อนความร้อน เป็นต้น นอกจากนี้ยังสามารถใช้วิธีการเคลือบ ฟิล์มบางในการเตรียมสารตัวอย่างสำหรับใช้ในการศึกษาสมบัติทางกายภาพของวัสดุในรูปของ ฟิล์มบาง ซึ่งสมบัติบางอย่างไม่สามารถวัดได้เมื่อออยู่ในสภาพเป็นก้อน (Bulk) เพราะฉะนั้นข้อมูลเหล่านี้มีประโยชน์อย่างมากต่อการพัฒนาวัสดุเพื่อนำไปใช้ในอุตสาหกรรม

การเคลือบฟิล์มบาง เป็นกระบวนการที่ทำให้สารเคลือบติดกับผิวสัมผัสรองรับ ที่ต้องการซึ่งสามารถทำได้ทั้งกระบวนการทางเคมีหรือกระบวนการทางฟิสิกส์โดยพื้นฐานแล้ว กระบวนการเคลือบฟิล์มบางมีขั้นตอนสำคัญ 3 ขั้นตอน (Smith, 1995) ดังนี้ คือ

1. การสร้างสารเคลือบ (Source) โดยทั่วไปแล้วสารเคลือบอาจอยู่ในรูปของ ของเหลว ไอ หรือแก๊ส ที่ได้แต่สารเคลือบจะทำการเคลือบนั้นจำเป็นต้องอยู่ในรูปของไอระเหย เท่านั้น ซึ่งวิธีการทำให้สารเคลือบกลายเป็นไอระเหยสามารถทำได้หลายวิธี เช่น การให้ความร้อน หรือการระดมยิงด้วยอนุภาคที่มีพลังงานสูงเป็นต้น

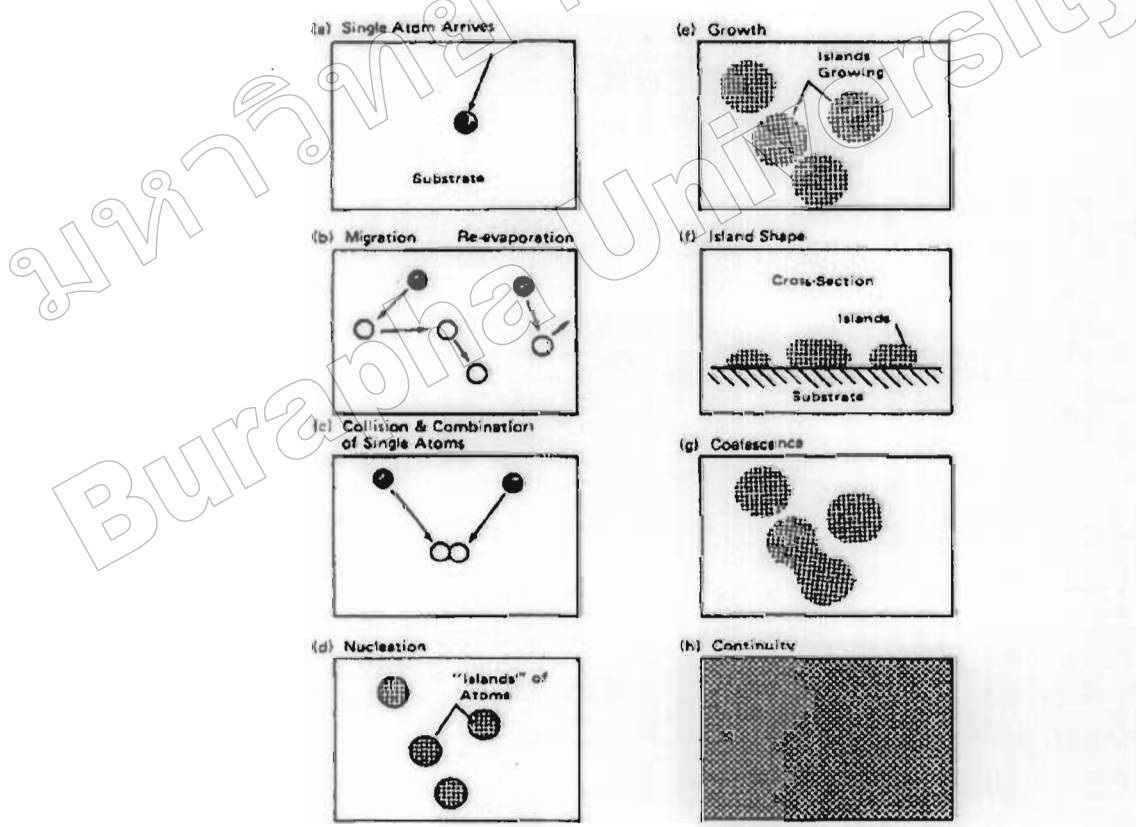
2. การเคลื่อนย้ายสารเคลือบมาขึ้นวัสดุรองรับ (Transport) ในภาวะสุญญากาศ ไอระเหยของสารเคลือบอาจจะมีการเคลื่อนที่เป็นเส้นตรง ไปยังวัสดุรองรับ หรืออาจจะเคลื่อนที่ไป ในลักษณะของ ไฟล์ ซึ่งจะทำให้ไอระเหยของสารเคลือบมีการชนกับอนุภาคอื่นภายในภาชนะ สุญญากาศ นอกจากนี้ ไอระเหยอาจจะเคลื่อนที่ไปยังวัสดุรองรับในลักษณะของพลาสมาก็ได้

3. การสะสมพอกพูน (Deposition) เป็นขั้นตอนการพอกพูนของสารเคลือบและ トイเข็นจนกลายเป็นชั้นของฟิล์มบางบนวัสดุรองรับขั้นตอนนี้จะเข็นกับเงื่อนไขของวัสดุรองรับหรือ การทำปฏิกิริยาของสารเคลือบกับวัสดุรองรับความสะอาดของผิววัสดุรองรับ ตลอดจนพลังงาน ที่ใช้ในการเคลือบ

การก่อเกิดฟิล์มบาง

การเกิดฟิล์มบางจากกระบวนการเคลือบฟิล์มบางในสุญญากาศ Chapman (1980) ได้อธิบายไว้ว่าดังนี้ เมื่อสารเคลือบจากแหล่งกำเนิดสารเคลือบเคลื่อนที่มาถึงวัสดุรองรับ สารเคลือบที่ กระหนบผิววัสดุรองรับส่วนใหญ่จะอยู่ในรูปของอะตอมหรือโมเลกุล (ภาพที่ 2-1 (a)) โดยพลังงาน พันธะ (Bonding Energy) ระหว่างอะตอมของสารเคลือบกับวัสดุรองรับและอุณหภูมิของวัสดุ รองรับจะเป็นตัวกำหนดความสามารถในการแพร่ (Diffusion) ของสารเคลือบบนผิววัสดุรองรับ อะตอมของสารเคลือบจะตกลงกระแทกผิววัสดุรองรับในตำแหน่งที่เรียกว่าตำแหน่งการดูดจับ (Adsorption Site) ทำให้เกิดการเกาะติดหรือถ้ามีพลังงานมากพอ ก็อาจจะกระโดดข้ามกำแพงพลังงาน ไปยังบริเวณที่อยู่ติดกันหรือหลุดออกจากตำแหน่งนั้นไป (ภาพที่ 2-1 (b)) ในช่วงเวลาหนึ่งอะตอม สารเคลือบอาจเกิดการระเบ hak ดับ และเกิดการรวมตัวกันระหว่างอะตอมที่มีการแพร่ด้วยกัน เมื่ออะตอมของสารเคลือบรวมตัวกันอาจเกิดเป็นอะตอมคู่ (ภาพที่ 2-1 (c)) ซึ่งมีความเสถียรมากกว่า อะตอมเดียว (Single Atom) ซึ่งการรวมตัวกันของอะตอมนั้นจะเข็นอยู่กับความหนาแน่นของ อะตอมเดียวและอัตราการเคลือบ (Deposition Rate) อะตอมคู่อาจรวมตัวกับอะตอมเดียวอีกน้ำแล้ว กลายเป็นสามอะตอม (Triplets) หรือสี่อะตอม (Quadruplets) หรืออื่น ๆ ลักษณะเช่นนี้เรียกว่า

สภาวะการเกิดนิวเคลียส (ภาพที่ 2-1(d)) ทำให้ได้กลุ่มอะตอมกึ่งเสถียร (Quasi-Stable Islands) จากนั้นกลุ่มอะตอมจะเริ่มโตขึ้นเรียกว่าการ โตเป็นกลุ่มก้อน (Island Growth) ขนาดของกลุ่มอะตอมจะใหญ่ขึ้น โดยมีจำนวนอะตอมเท่าเดิมหรือเพิ่มขึ้นเล็กน้อย (ภาพที่ 2-1(e) และ 2-1(f)) การโตของกลุ่มอะตอมนี้จะเกิดขึ้นเรื่อยๆ จนกระทั่งขอบของแต่ละกลุ่มอะตอมชนกัน เรียกว่า การรวมกันเป็นก้อนของกลุ่มอะตอม (Agglomeration หรือ Coalescence) (ภาพที่ 2-1(g)) จากการศึกษาด้วยเทคนิค Transmission Electron Microscopy (TEM) พบว่าขณะที่กลุ่มอะตอมรวมกันเป็นก้อนอะตอมจะมีพฤติกรรมคล้ายของเหลว (Liquid-Like Behaviour) และมีการจัดเรียงทิศทางในเชิงผลักวิทยา (Crystallographic Orientation) ด้วยการรวมกันเป็นก้อนของกลุ่มอะตอมจะเกิดขึ้นจนกระทั่งชื่อมต่อ กันอย่างต่อเนื่อง (ภาพที่ 2-1(h)) แต่ในบางกรณีการเชื่อมต่อ กันอย่างต่อเนื่องจะเกิดขึ้นได้อย่างสมบูรณ์เมื่อฟิล์มมีความหนาโดยเฉลี่ยประมาณ $0.04 - 0.05 \mu\text{m}$ ลักษณะผิวของฟิล์มนางขณะเกิดการรวมกลุ่มอะตอมจะคุ้คล้ายเนินเขาและหุบเขา



ภาพที่ 2-1 การก่อเกิดฟิล์มบาง (Chapman, 1980)

เมื่อพิจารณาการเกิดฟิล์มในสภาพที่เป็นกลุ่มอะตอม (Island) พบว่าอาจเป็นกลุ่มของ พลีกเดี่ยวหรือกลุ่มของพลีกคู่หรือมากกว่านั้น ซึ่งกลุ่มอะตอมเหล่านี้จะตกเคลือบลงบนวัสดุรองรับ ที่เป็นวัสดุหลายพลีก ทิศทางการจัดเรียงตัว (Orientation) ของแต่ละกลุ่มอะตอมนั้นจะเป็นแบบสุ่ม (Random) ทำให้ได้ฟิล์มบางที่มีโครงสร้างเป็นหลายพลีกด้วยแต่ถ้ากลุ่มอะตอมเหล่านี้ตกเคลือบ บนวัสดุรองรับที่เป็นพลีกเดี่ยวการจัดเรียงตัวของฟิล์มก็จะมีลักษณะเป็นพลีกเดียว และเรียกการเกิด ฟิล์มแบบพลีกเดี่ยวประเภทนี้ว่าเอปิแทกซ์ (Epitaxy)

ถ้าอะตอมที่ผิวของวัสดุรองรับมีพลังงานเพียงพอ อะตอมเหล่านั้นจะเคลื่อนที่เพื่อเลือก เข้าไปอยู่ในตำแหน่งที่มีพลังงานต่ำกว่าเสมอทั้งนี้ความสามารถในการเคลื่อนที่ (Mobility) ของ อะตอมจะเพิ่มขึ้นถ้าอุณหภูมิที่ผิววัสดุรองรับสูงขึ้นจากนี้การลดอัตราเคลือบยังสามารถช่วยให้ การโตของพลีกเกิดได้ดียิ่งขึ้นเพราะอะตอมมีเวลาในการโน้มน้าวถ้าอุณหภูมิของวัสดุ รองรับสูงและมีอัตราเคลือบต่ำจะได้ฟิล์มที่มีขนาดของกรานใหญ่ขึ้น มีข้อก่อร่องในกรานน้อยลง และได้ฟิล์มที่มีความหนามากพอสำหรับการเชื่อมต่อกันอย่างสมบูรณ์ในทางกลับกันถ้าอุณหภูมิ วัสดุรองรับต่ำแต่อัตราเคลือบสูงก็จะให้ผลลักษณะเดียวกัน

การเคลือบฟิล์มบางด้วยวิธีสปีดเตอริง

การเคลือบด้วยวิธีสปีดเตอริงเป็นกระบวนการพอกพูนของชั้นฟิล์มบางที่เกิดจากสาร เคลือบที่ได้จากการกระบวนการสปีดเตอร์ การเคลือบด้วยวิธีนี้เกิดขึ้นเมื่ออะตอมของสารเคลือบที่ได้ จากกระบวนการสปีดเตอร์วิ่งเข้าชนวัสดุรองรับและมีการพอกพูนและโตเป็นฟิล์มบางในที่สุด กระบวนการสปีดเตอริงคือการทำให้อะตอมหลุดจากผิวของวัสดุโดยการชนของอนุภาคพลังงานสูง แล้วมีการแตกเปลี่ยนพลังงานและโน้มนต์ระหว่างอนุภาคที่วิ่งเข้าชนกับอะตอมที่ผิวสารเคลือบ โดยอนุภาคที่วิ่งเข้าชนอาจเป็นกลางทางไฟฟ้าหรือมีประจุก์ได้และเนื่องจากไอออนที่ได้จาก กระบวนการสปีดเตอร์ในการเคลือบฟิล์มบางด้วยวิธีสปีดเตอริงจะเคลื่อนที่ด้วยความเร็วสูงกว่า วิธีการระเหยสารมากดังนั้นเมื่ออะตอมของสารเคลือบวิ่งเข้ากระทบแผ่นวัสดุรองรับก็จะฝังตัวแน่น ลงในเนื้อวัตถุที่ต้องการเคลือบมากกว่าวิธีระเหยสารดังนั้นการเคลือบด้วยวิธีสปีดเตอริงจะทำให้ การยึดเกาะระหว่างสารเคลือบกับวัตถุรองรับดีกว่า (พิเชญชัย ลิมสุวรรณ และนันสถา รัตนะ, 2547; Chapman, 1980)

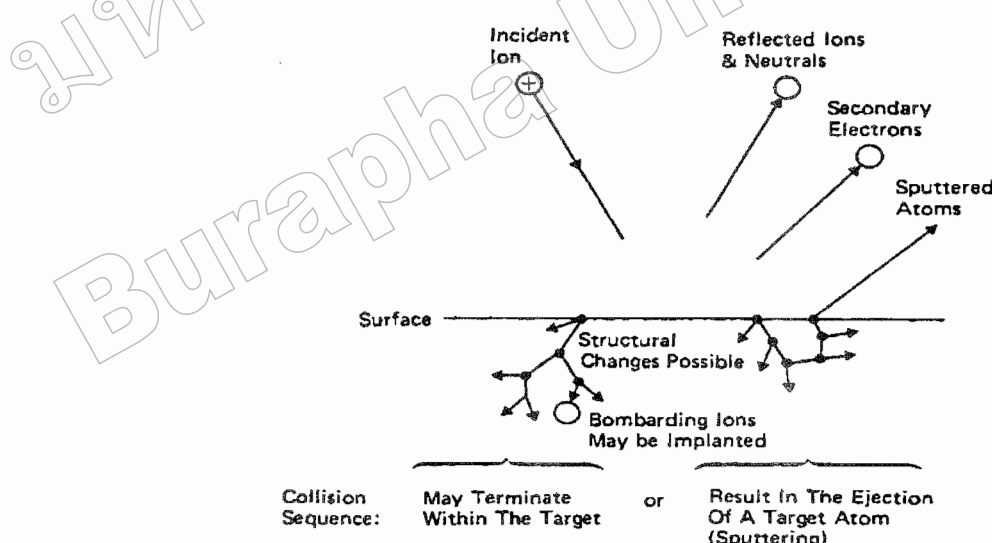
เมื่อผิวน้ำของวัสดุกระบวนการยิงด้วยอนุภาคพลังงานสูงจะทำให้เกิดการสึกกร่อนและมีอนุภาคที่ผิวน้ำของวัสดุนั้นหลุดมา เนื่องจากการชนของอนุภาคพลังงานสูงกับอนุภาคที่ผิวน้ำวัสดุ ปรากฏการณ์ที่อนุภาคผิวน้ำวัสดุหลุดออกมานี้เรียกว่า สปัตเตอร์ (Sputter) หรือสปัตเตอริง (Sputtering) ปัจจุบันมีการนำมาประยุกต์ใช้อย่างกว้างขวาง เช่น การทำความสะอาดผิวน้ำ (Surface Cleaning) การกัดเซาะ (Etching) การวิเคราะห์ชั้นผิวน้ำของวัสดุ (Surface Layer Analysis) และการเคลือบฟิล์มบาง

สำหรับแนวคิดเบื้องต้นเกี่ยวกับกระบวนการสปัตเตอริง ขอanalyse ได้ดังนี้

1. อันตรกิริยะระหว่าง ไอออนและผิวสารเคลือบเมื่อ ไอออนพลังงานสูงวิ่งชนผิวน้ำวัสดุจะเกิดปรากฏการณ์ต่าง ๆ ดังแสดงในภาพที่ 2-2 ซึ่งขอanalyse ได้ดังนี้

1.1 การสะท้อนที่ผิวน้ำของ ไอออน (Reflected Ion and Neutral) ไอออนอาจสะท้อนกลับจากผิวน้ำซึ่งส่วนใหญ่จะสะท้อนออกมายังรูปของอะตอมที่เป็นทางทางไฟฟ้าอันเกิดจากการรวมตัวกับอิเล็กตรอนที่ผิวสารเคลือบ

1.2 การปลดปล่อยอิเล็กตรอนชุดที่สอง (Secondary Electron Emission) จากการชนของ ไอออนอาจทำให้เกิดการปลดปล่อยอิเล็กตรอนชุดที่สองจากผิวสารเคลือบถ้า ไอออนนั้นมีพลังงานสูงพอ



ภาพที่ 2-2 อันตรกิริยะระหว่าง ไอออนกับพื้นผิววัสดุ (Chapman, 1980)

1.3 การฝังตัวของ ไอออน (Ion Implantation) ไอออนที่วิ่งชนเป้าสารเคลือบนั้น อาจฝังตัวลงในสารเคลือบ โดยความลึกของการฝังตัวจะประดับโดยตรงกับพลังงาน ไอออน ซึ่งมีค่า 10 อังสตรอม/พลังงาน ไอออน 1 keV สำหรับ ไอออนของแก๊สอาร์กอนที่ฝังตัวในทองแดง

1.4 การเปลี่ยนโครงสร้างของผิวสารเคลือบ (Target Material Structural Rearrangements) การชนของ ไอออนบนผิวสารเคลือบทาให้เกิดการเรียงตัวของอะตอมที่ผิวสารเคลือบใหม่และเกิดความบกพร่องของผลึก (Lattice Defect)

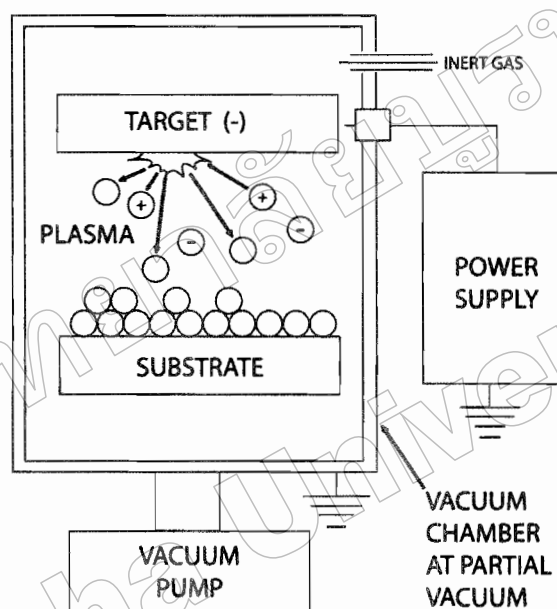
1.5 การสปัตเตอร์ (Sputter) การชนของ ไอออนอาจทำให้เกิดกระบวนการชนกันแบบต่อเนื่องระหว่างอะตอมของเป้าอันทำให้เกิดการปลดปล่อยอะตอมจากผิวสารเคลือบ ซึ่งเรียกว่ากระบวนการสปัตเตอร์ริง

2. กระบวนการสปัตเตอร์ริงเป็นกระบวนการที่อะตอมผิวน้ำหน้าของวัสดุถูกทำให้หลุดออกมากด้วยการชนของอนุภาคพลังงานสูง โดยมีการแลกเปลี่ยนพลังงานและโมเมนตัมระหว่างอนุภาคที่วิ่งเข้าชนกับอะตอมที่ผิวสหัสครุดึงกล่าว กระบวนการนี้อนุภาคที่วิ่งเข้าชนอาจเป็นกลางทางไฟฟ้าหรือมีประจุก์ได้ ดังนั้นสิ่งที่จำเป็นในกระบวนการสปัตเตอร์ริง คือ

2.1 เป้าสารเคลือบ ทำหน้าที่เป็นเป้าให้อนุภาคพลังงานสูงวิ่งเข้าชนจนมีการปลดปล่อยอะตอมของสารเคลือบลงเคลือบบนวัสดุรองรับ

2.2 อนุภาคพลังงานสูง ซึ่งวิ่งชนเป้าสารเคลือบ แล้วทำให้อะตอมของเป้าสารเคลือบหลุดออกมาก ปกติอนุภาคพลังงานสูงนี้อาจเป็นกลางทางไฟฟ้า เช่น นิวตรอน หรืออะตอมของธาตุต่าง ๆ แต่การทำให้อนุภาคที่เป็นกลางมีพลังงานสูงเกิน 10 eV เพื่อใช้ในกระบวนการสปัตเตอร์ริง ทำได้ค่อนข้างยาก วิธีการหนึ่งที่นิยมคือการเร่งอนุภาคประจุภายในไส้สนามไฟฟ้า ซึ่งสามารถควบคุมระดับพลังงาน ไอออนตามต้องการ อิเล็กตรอนเป็นอนุภาคที่มีประจุนิยมหนึ่งที่ผลิตได้ง่ายและสามารถเร่งให้มีพลังงานสูงภายในไส้สนามไฟฟ้าได้ แต่อิเล็กตรอนมีมวลน้อยกว่าอะตอมของสารเคลือบมากทำให้การถ่ายเทพลังงานและโมเมนตัมต่ออะตอมสารเคลือบนั้นเป็นไปได้อย่างไม่มีประสิทธิภาพและไม่สามารถทำให้กระบวนการสปัตเตอร์ริงเกิดขึ้นได้ ตามทฤษฎีทางฟิสิกส์การชนกันระหว่าง 2 อนุภาคที่มีการส่งถ่ายพลังงานและโมเมนตัมดีที่สุดจะเกิดขึ้นเมื่อมวลของอนุภาคทึ้งสองมีค่าเท่ากัน ดังนั้นเราจึงเลือกการเร่ง ไอออนของก๊าสในสนามไฟฟ้าเป็นอนุภาควิ่งชนเป้าสารเคลือบซึ่งให้อัตราการปลดปล่อยเป้าสารเคลือบสูงเพียงพอ กับความต้องการ

2.3 การผลิตอนุภาคพลังงานสูง อนุภาคพลังงานสูงในระบบสปัตเตอริงนี้จะต้องถูกผลิตขึ้นอย่างต่อเนื่อง เพื่อให้กระบวนการเคลือบสารเกิดขึ้นได้อย่างต่อเนื่องจนได้ความหนาพิเศษ ตามต้องการ ทั้งนี้สามารถทำได้หลายวิธี เช่น การใช้ลำอนุภาคจากปืนไออกอนที่มีปริมาณการผลิตไออกอนในอัตราสูงหรือผลิตจากการกระบวนการโกลว์ดิสชาร์จ เมื่อจากปืนไออกอนมีราคาค่อนข้างสูง และให้ไออกอนในพื้นที่แคบ กระบวนการสปัตเตอริงทั่วไปในระดับอุตสาหกรรมจึงนิยมใช้กระบวนการโกลว์ดิสชาร์จในการผลิตอนุภาคพลังงานสูง



ภาพที่ 2-3 ลักษณะของเครื่องเคลือบสุญญากาศด้วยวิธีสปัตเตอริง

3. ค่าyieldของสปัตเตอริง (Sputtering Yield; S) คือ ค่าเฉลี่ยปริมาณการหลุดของอะตอม เป้าสารเคลือบต่อปริมาณการชนของไออกอน 1 อนุภาคมีหน่วยเป็นอะตอมต่อไออกอน โดยการวัดค่าyieldนี้สามารถทำได้โดยการหาน้ำหนักหรือความหนาที่ลดลงของเป้าสารเคลือบหรือหาได้จาก วัสดุทั้งหมดที่ถูกสปัตเตอร์หรืออาจหาได้จากการตรวจวัดสปัตเตอร์อะตอม (Sputter Atom) ขณะที่ยังฟูงกระจาย (พิเชยฐ์ ลิมสุวรรณ และธนสัณ พัฒนา, 2547) ค่าyieldของกระบวนการสปัตเตอริง จะเปลี่ยนไปตามภาวะต่าง ๆ ดังนี้

3.1 เปลี่ยนแปลงตามพลังงาน ไอออนการชนของอนุภาค 2 อนุภาคในแนวเดียวกัน การถ่ายเทพลังงานระหว่างอนุภาคจะเป็นไปตามสมการที่ 2-1

$$\Delta E = \frac{4mM}{(m+M)^2} \quad (2-1)$$

เมื่อ ΔE	คือพลังงานที่ถ่ายเทระหว่างอนุภาค
m	คือมวลอะตอมที่ถูกชน
M	คือมวลของอะตอมที่วิ่งเข้าชน

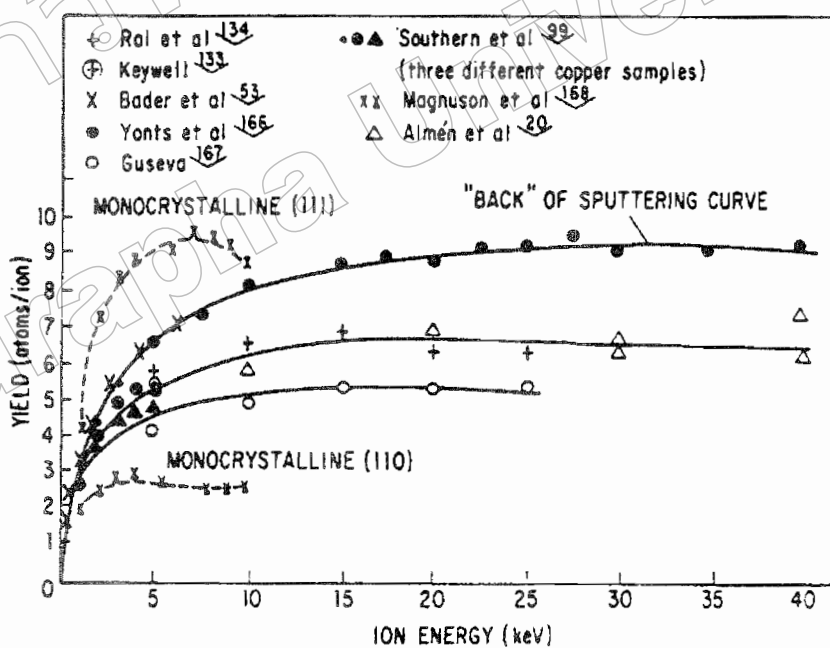
เมื่อพลังงาน ไอออนมีค่าต่ำกว่าค่าขีดจำกัดของระบบการสปัตเตอริ่งจะมีค่าเป็นศูนย์ เนื่องจากไม่สามารถถ่ายงานแรงดึงดูดทางระหว่างอะตอมบนเป้าสารเคลือบได้ เมื่อ ไอออนมีพลังงาน สูงขึ้นเกินกว่า $4H$ (H คือ ค่าพลังงานเฉลี่ยที่ใช้ในการระเหิด 1 อะตอมจากผิวสารเคลือบ) ถ้าพลังงาน ไอออนสูงมากพอในการทำให้เกิดกระบวนการชนอย่างต่อเนื่องระหว่างอะตอม สารเคลือบและเริ่มมีการปลดปล่อยอะตอมสารเคลือบเรียกพลังงานค่านี้ว่า พลังงานขีดเริ่ม (Threshold Energies) ซึ่งเปลี่ยนแปลงไประหว่างค่าการชนของอนุภาค (ตารางที่ 2-1)

เมื่อ ไอออนชนมีพลังงานสูงขึ้นยิ่ลด้วยเพิ่มขึ้นอย่างรวดเร็วแบบเอ็กซ์โพเนนเชียล ในช่วงแรกและเปลี่ยนเป็นการเพิ่มแบบเบี้ยงเส้นจากนั้นจึงมีการอิ่มตัว (Saturation) ของค่าขีด เมื่อพลังงาน ไอออนมีค่าสูงมากทั้งนี้เนื่องจาก ไอออนพลังงานสูงมีโอกาสในการฟังตัวบนผิว เป้าสารเคลือบสูงขึ้นทำให้ขีดของสารเคลือบมีค่าคงที่ จากนั้นจะมีคาดลงเล็กน้อยเมื่อเพิ่ม พลังงาน ไอออนให้สูงมากขึ้น ดังแสดงในภาพที่ 2-4

ตารางที่ 2-1 พลังงานปิดเริ่มของเป้าสารเคลือบชนิดต่าง ๆ (Maissel & Glang, 1970)

	Ne	Ar	Kr	Xe	Hg		Ne	Ar	Kr	Xe	Hg
Be	12	15	15	15	-	Mo	24	24	28	27	32
Al	13	13	15	18	18	Rh	25	24	25	25	-
Ti	22	20	17	18	25	Pd	20	20	20	15	20
C	21	23	25	28	25	Ag	12	15	15	17	-
Cr	22	22	18	20	23	Ta	25	26	30	30	30
Fe	22	20	25	23	25	W	35	33	30	30	30
Co	20	25	22	22	-	Re	35	35	25	30	35
Ni	23	21	25	20	-	Pt	27	25	22	22	25
Cu	17	17	16	15	20	Au	20	20	20	18	-
Ge	223	25	22	18	25	Th	20	24	25	25	-
Zr	23	22	18	25	30	U	20	23	25	22	27
Nb	27	25	26	32							

Boldface values are those for which the energy-transfer factor $4m_1m_2/(m_1+m_2)^2$ is 0.9 or higher



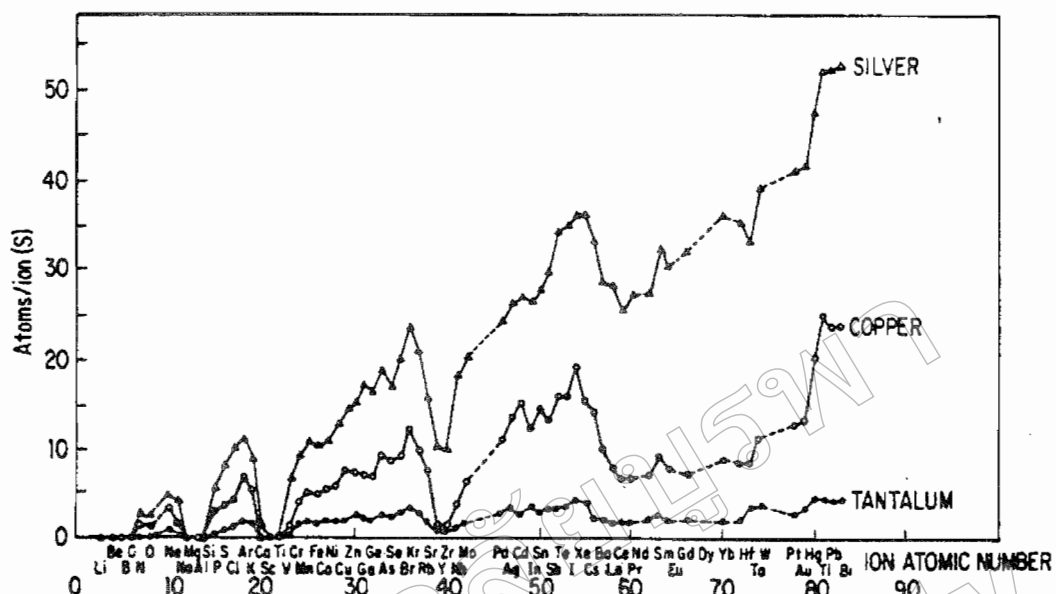
ภาพที่ 2-4 ยิลด์ของห้องเดงที่ถูกชนด้วยไอนอนจากเก็สรากอนที่พลังงานต่าง ๆ
(Maissel & Glang, 1970)

3.2 เปลี่ยนแปลงตามรูรานของผลึกของผิวปีสารเคลือบจากการทดลองพบว่าเมื่อใช้ปีสารเคลือบที่เป็นผลึกเดียวค่าเยล็ดจะมีค่ามากที่สุดเมื่อไออกอนชนปีในแนวรูรานที่มีอะตอมหนาแน่นที่สุดและมีค่าต่ำในรูรานที่มีอะตอมเบาบางในทางเดงซึ่งมีโครงสร้างผลึกแบบ FCC (Face Centered Cubic) พบว่าการชนบนรูราน (111) ซึ่งมีความหนาแน่นอะตอมสูงสุดเยล็ดจะมีค่าสูงสุดเมื่อใช้ค่าพลังงานไออกอนในการชนค่าเดียวกันส่วนรูรานที่มีความหนาแน่นอะตอมต่ำไออกอนมีแนวโน้มว่างดงามกว่าในปีสารเคลือบมากขึ้น

3.3 เปลี่ยนแปลงตามชนิดของไออกอนที่ชนปีสารเคลือบค่าเยล็ดจากปีสารเคลือบชนิดเดียวกันเมื่อไออกอนต่างชนิดกันว่าชนจะมีค่าแตกต่างกันออกไปถึงแม่จั่วสมการที่ 2-1 แสดงให้เห็นว่าการถ่ายเทพลังงานระหว่าง 2 อนุภาคที่ชนกันจะมีค่าสูงสุดเมื่อมวลของอะตอมทั้งสองมีค่าเท่ากันแต่อะตอมบนปีสารเคลือบมีดีกรีกับอะตอมข้างเคียงจึงทำได้เสมอเมื่อไออกอนมีมวลยังผลสูงกว่ามวลของอะตอมปีสารเคลือบภาพที่ 2-5 แสดงการเปลี่ยนแปลงของค่าเยล็ดพบว่ามีค่าสูงสุดเป็นช่วงๆ ณ ตำแหน่งที่ใช้ไออกอนจากแก๊สเลือยกือแก๊ส Ne, Ar, Kr, และ Xe ซึ่งเป็นอะตอมที่มีอิเดกตรอนครบ 8 ในวงนอกสุด

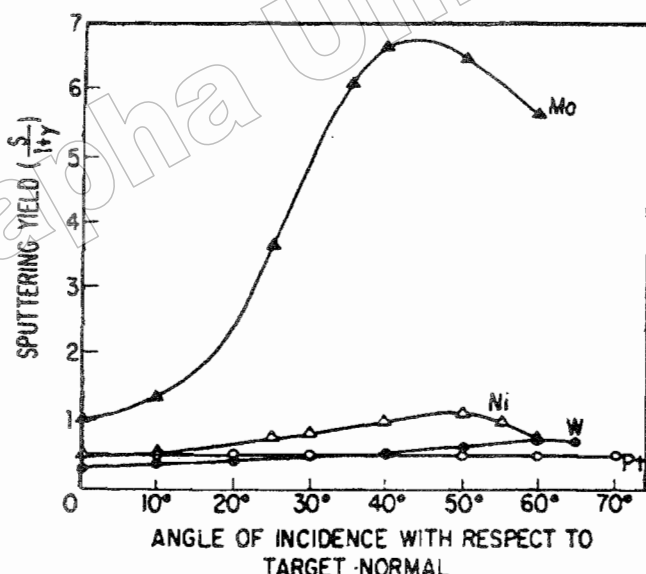
3.4 เปลี่ยนแปลงตามมุมตัดกระบทของไออกอนบนปีสารเคลือบจากการทดลองพบว่าเมื่อเพิ่มมุมเอียงของการชนจากไออกอนบนปีสารเคลือบขึ้นเยล็ดจะมีค่าสูงขึ้นตามมุมที่เอียงเนื่องจากอะตอมสารเคลือบที่หลุดออกมามาเปลี่ยนจากการกระเจิงกลับ (Back Scattering) เป็นการกระเจิงไปข้างหน้า (Forward Scattering) ซึ่งเป็นกระบวนการที่ต้องการจำนวนครั้งของการชนระหว่างอะตอมน้อยกว่าทำให้เยล็ดสูงขึ้นจนถึงจุดหนึ่งซึ่งมีค่าสูงสุดที่องศาการเอียงมากกว่า 45° จำนวนเยล็ดจะมีค่าลดลงเมื่อมุมสูงขึ้นและเป็นศูนย์เมื่อมุมเอียงมีค่า 90° โดยขณะนั้นพื้นที่การชนเมื่อมองจากไออกอนมีค่าเป็นศูนย์ (ภาพที่ 2-6)

4. ความเร็วและพลังงานของอะตอมที่ถูกสปีดเตอร์หลุดออกจากผิวหน้าปีสารเคลือบด้วยวิธีการสปีดเตอร์มีพลังงานจนค่อนข้างสูงและมากกว่าพลังงานของอะตอมที่หลุดออกด้วยวิธีการระเหยสารประมาณ 50 - 100 เท่าอะตอมมีการกระจายพลังงานแบบ Maxwellian โดยที่พลังงานส่วนใหญ่มีค่าต่ำกว่า 10 eV และอีกส่วนหนึ่งมีพลังงานระหว่าง $10 - 40 \text{ eV}$ ถ้าไออกอนที่ใช้มีพลังงานสูงขึ้นพลังงานเฉลี่ยของอะตอมจากสปีดเตอร์จะไม่เพิ่มขึ้นและเป็นที่มีค่าเยล็ดสูงมีแนวโน้มทำให้พลังงานเฉลี่ยของอะตอมที่หลุดออกมามีค่าต่ำเนื่องจากไออกอนที่วิ่งชนมีพลังงานเกิน 1 keV พลังงานเฉลี่ยของอะตอมจากการสปีดเตอร์จะไม่เพิ่มขึ้นและเป็นที่มีค่าเยล็ดสูงมีแนวโน้มทำให้พลังงานเฉลี่ยของอะตอมที่หลุดออกมามากอะตอมแต่ละตัวจะรับพลังงานเฉลี่ยจากไออกอนได้น้อยลง



ภาพที่ 2-5 การเปลี่ยนแปลงค่าอิลเด็บของเป้าทองแดง (Cu), เงิน (Ag) และเทานทาลัม (Ta)

เมื่อใช้ไอโอนพลังงาน 45 keV จากธาตุที่มีเลขอะตอมค่าต่างๆ (Maissel & Glang, 1970)



ภาพที่ 2-6 การเปลี่ยนแปลงของอิลเด็บเมื่อใช้ไอโอนของprotothplangjan 200 eV ชนเป้านิกเกิล (Ni),

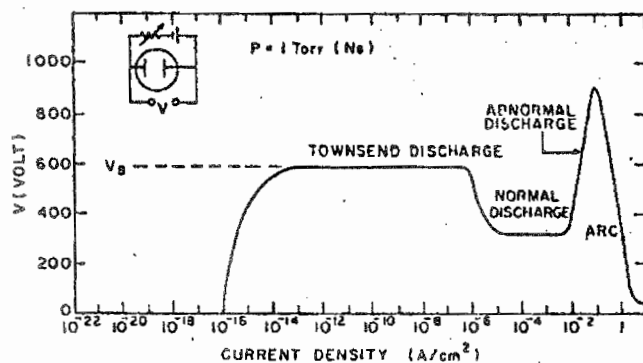
โมลินดินัม (Mo), หังสเตน (W) และทองคำขาว (Pt) ที่มุนการตกรอบค่าต่าง ๆ

(วัดเทียบกับแนวชนตั้งจากบนเป้า) (Maissel & Glang, 1970)

กระบวนการโกล์ว์ดิสชาร์จ

พิเชญฐ์ ลิ่มสุวรรณ และธนสัตชา รัตนะ (2547) "ได้อธิบายกระบวนการ โกล์ว์ดิสชาร์จไว้ดังนี้ เมื่อป้อนแรงดันไฟฟ้ากระแสตรงให้กับขั้วอิเล็กโทรด 2 ขั้ว ที่วางห่างกันเป็นระยะ d ภายใต้ความดันประมาณ 1.33 mbar ของแก๊สนีออน พบว่าช่วงแรกที่เพิ่มแรงดันทางไฟฟ้าจะมีกระแสไฟในวงจรน้อยมาก กระแสส่วนนี้เกิดจากการเคลื่อนที่ของอิเล็กตรอนและไอออนของแก๊สที่เกิดขึ้นตลอดเวลาในบรรยากาศเนื่องจาก การชนของรังสีคิอสมิกและถูกเร่งภายใต้สนามไฟฟ้ากระแสนี้จะมีค่าค่อนข้างคงที่ เพราะอัตราการเกิดประจุขึ้นอยู่กับความเข้มของรังสี เมื่อศักย์ไฟฟ้าเพิ่มขึ้น ใกล้ค่าแรงดันไฟฟ้าทะลาย (Breakdown Voltage; V_B) พลังงานของประจุที่ถูกเร่งภายใต้สนามไฟฟ้าจะมีค่าสูงขึ้นจนสามารถโน้มเลกุลของแก๊สทำให้เกิดการแตกตัวเป็นไอออนบวกและอิเล็กตรอนซึ่งถูกเร่งภายใต้สนามไฟฟ้าให้มีการชนและเกิดการไอออกในชั้นเพิ่มขึ้น ส่วนของไอออนบวกจะถูกเร่งเข้าชนค่าโทด จนเกิดการปลดปล่อยอิเล็กตรอนทุติยภูมิ (Secondary Electron) เรียกกระบวนการช่วงนี้ว่า ทวนนีเซนต์ดิสชาร์จ (Townsend Discharge)

เมื่อแรงดันไฟฟ้าเพิ่มขึ้นถึงแรงดันไฟฟ้าทะลายจะเกิดกระบวนการถล่ม (Avalanche) ทำให้ปริมาณไอออนบวกวิ่งเข้าชนค่าโทดมากขึ้นและมีการปลดปล่อยอิเล็กตรอนทุติยภูมิมากขึ้น ซึ่งจะถูกเร่งให้วิ่งเข้าหาอาโนดขณะเดียวกันอิเล็กตรอนทุติยภูมินี้ก็จะมีการชนกับโน้มเลกุลของแก๊ส ทำให้เกิดไอออนมากขึ้น สรุดท้ายไอออนบวกที่เพิ่มขึ้นมากขึ้นจะวิ่งชนค่าโทดแล้วปลดปล่อยอิเล็กตรอนทุติยภูมิเพิ่มขึ้น ทำให้เกิดการผลิตไอออนเพิ่มขึ้นทำให้กระแสเพิ่มอย่างรวดเร็วจนมีปริมาณไอออนมากเพียงพอที่จะผลิตอิเล็กตรอนได้ในจำนวนคงที่ ช่วงนี้ระบบสามารถรักษาสภาพดิสชาร์จได้ด้วยตนเองโดยไม่ต้องอาศัยแหล่งกำเนิดจากรังสีภายนอกในการผลิตไอออน ช่วงนี้แก๊สภายในระบบจะเกิดการเรืองแสงขึ้น แรงดันไฟฟ้าระหว่างอิเล็กโทรดลดลงและกระแสไฟฟ้าเพิ่มขึ้นอย่างรวดเร็วเรียก การเรืองแสงปกติ หรือ นอร์มอล โกลว์ (Normal Glow) สถานะนี้อัตราการปลดปล่อยอิเล็กตรอนทุติยภูมิต่ออัตราการชนของไอออนมีค่าค่อนข้างต่ำ คือประมาณ 0.1 สำหรับเปลี่ยวค่าโทดที่ทำจากวัสดุทั่วไป โดยในช่วงเริ่มต้นของการเรืองแสงหรือโกลว์ การชนของไอออนบนค่าโทดจะปรับตัวเองให้เกิดขึ้นในบางบริเวณ แนวการเรืองแสงอาจเลื่อนไปมาได้และการชนของไอออนบนค่าโทด ไม่มีความสม่ำเสมอ โดยจะมีความเข้มของบริเวณการเรืองแสงตามแนวขอบหรือมุมของค่าโทดที่มีสนามไฟฟ้าสูงเพื่อรักษาสภาพการโกลว์ (Self-Sustaining) บางบริเวณไว้ เมื่อกระแสไฟฟ้ามีค่าเพิ่มขึ้นตามแนวการชนของไอออนจะค่อยๆ ขยายตัว เพิ่มพื้นที่ จนครอบคลุมตลอดผิวค่าโทด จนกระทั่งมีค่าความหนาแน่นกระแสเท่ากันตลอดโดยมีค่าแรงดันไฟฟ้าระหว่างขั้วอิเล็กโทรดคงที่

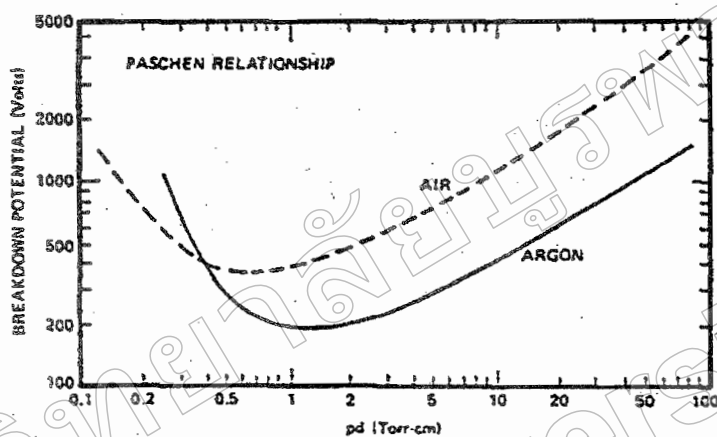


ภาพที่ 2-7 ความสัมพันธ์ของความหนาแน่นกระแสและแรงดันไฟฟ้าระหว่างชื้ออิเล็กโทรดของกระบวนการเกิด ดีซี โกลว์ดิสชาร์จ ในหลอดสูญญากาศบรรจุแก๊สนีออน
(Vossen & Kerns, 1978)

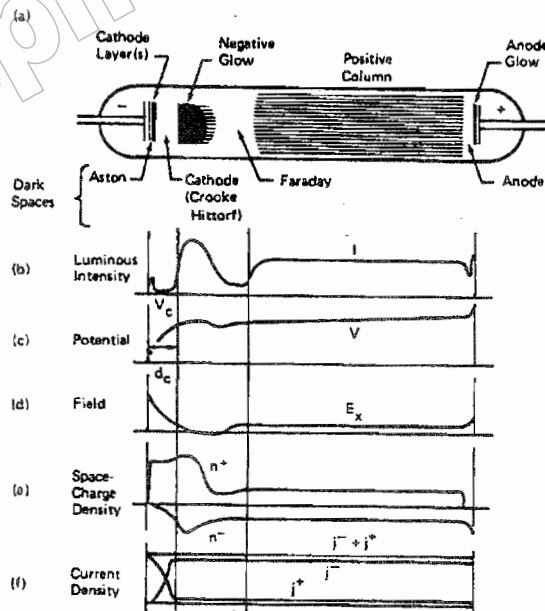
หลังจากการชนของไออ่อนครองคลุมพื้นที่ห้องหมัดของค่าโถดแล้ว การเพิ่มกำลังไฟฟ้าเข้าสู่ระบบจะทำให้ห้องดันไฟฟ้าและกระแสไฟฟ้ามีค่าเพิ่มขึ้น เรียกว่า ช่วงการเรืองแสงผิดปกติ เปล่งแสงข้าม หรือ แอบนอร์มอล โกลว์ (Abnormal Glow) เป็นช่วงที่ใช้กับระบบสปีเตอริง และ อีกหลาย ๆ ระบบของกระบวนการเกี่ยวข้องกับ โกลว์ดิสชาร์จ ช่วงนี้ถ้าไม่ระบายความร้อนให้กับ ค่าโถด เมื่อความหนาแน่นของกระแสของค่าโถดเพิ่มขึ้นสูงประมาณ $0.1 A/cm^2$ ความร้อนที่เกิด จากการชนของไออ่อนบวกบนผิวค่าโถดมีมากขึ้น จะเกิดการปล่อยอิเล็กตรอนแบบเทอร์มิโอนิก (Thermionic Electron Emission) เสริมกับการปลดปล่อยอิเล็กตรอนทุติยภูมิและติดตามด้วย กระบวนการคลื่นอิทธิพลน้ำ ทำให้ความนำไฟฟ้าของแก๊สในระบบสูงขึ้นอย่างรวดเร็ว แรงดันไฟฟ้าระหว่างชื้ออิเล็กโทรดตกลงมากขณะที่กระแสไฟฟ้าเพิ่มสูงขึ้นและเปล่งประกายข้า ของการอาร์ค (Arc Discharge) ภาพที่ 2-7

ค่าแรงดันไฟฟ้าหลายในกระบวนการ โกลว์ดิสชาร์จจะมีค่าเปลี่ยนแปลงไปกับระยะทาง d ระหว่างอิเล็กโทรดและระยะปลดการชนระหว่างอิเล็กตรอนทุติยภูมิ และ โนเดกูลของแก๊ส (ระยะปลดการชนของอิเล็กตรอนทุติยภูมนี้ จะแปรผูกพันกับความดันและมีค่ามากกว่าระยะปลด การชนของการชนกันเองระหว่าง โนเดกูลแก๊ส) ปกติอิเล็กตรอนทุติยภูมิแต่ละตัวมีความสามารถในการผลิตไออ่อนบวกได้ระหว่าง 10 ถึง 20 ตัว เพื่อให้เกิดกระบวนการคลื่นในช่วงของนอร์มอล โกลว์ถ้าความดันต่ำเกินไป (ระยะปลดการชนยาวขึ้น) หรือระยะทาง d มีค่าน้อยเกินไป อิเล็กตรอนทุติยภูมิจะไม่สามารถผลิตไออ่อนได้มากพอ ก่อนการชนกันอาจอนาคต ถ้าความดันสูงเกินไป (ระยะปลดการชนสั้นลง) หรือระยะ d มากเกินไป อิเล็กตรอนทุติยภูมิไม่สามารถเพิ่ม พลังงานให้กับตัวเองในส่วนไฟฟ้าได้มากพอสำหรับใช้ในการ ไออ่อนในซี เมื่อเกิดการชนพลังงาน

จะถูกถ่ายทอดให้ไม่เลกุลแก๊สในรูปการกระตุน (Excite) จนไปอยู่ในระดับพลังงานที่สูงขึ้นทำให้ไม่สามารถผลิตไออกอนบวกได้มากเพียงพอ เช่น กัน ดังนั้นทั้งสองกรณีจะต้องใช้แรงดันทางไฟฟ้าระหว่างค่อนข้างสูง โดยมีจุดหนึ่งระหว่างนี้ที่ใช้ค่าแรงดันไฟฟ้าระหว่างต่ำสุดตามกฎของปาเชน (Pachen's law) ซึ่งแสดงให้เห็นความสัมพันธ์ระหว่างแรงดันไฟฟ้าระหว่างและผลคูณระหว่างความดันแก๊ส (P) และระยะระหว่างอิเล็กโตรด (d) (ภาพที่ 2-8)



ภาพที่ 2-8 ความสัมพันธ์ระหว่างแรงดันไฟฟ้าระหว่างและผลคูณระหว่างความดัน (P) และระยะระหว่างอิเล็กโตรด (d) (Bunshah, 1994)



ภาพที่ 2-9 โกลว์ดิสชาร์จของหลอดนีออนยาว 50 cm ที่ความดัน 1.33 mbar (Chapman, 1980)

ในระบบสปีตเตอริงทั่วไปสภาวะของการเกิดโกล์วคิสชาร์จะกระทำในช่วงที่ผลลัพธ์ของความดันกับระยะห่างระหว่างอิเล็กโตรด (Pxd) ซึ่งมีค่าต่ำกว่าจุดต่ำสุดของกราฟมาก (เนื่องจากการเคลือบฟิล์มที่ความดันต่ำทำให้ฟิล์มที่ได้มีคุณภาพดีการแทรกตัวของแก๊สในเนื้อฟิล์มน้อยและลดปริมาณสารปลอมปนในฟิล์ม) จึงต้องการแรงดันไฟฟ้าเริ่มต้นค่อนข้างสูง บางครั้งจึงมีความจำเป็นต้องใช้การเพิ่มความดันชั่วขณะเพื่อให้เริ่มการดิสชาร์จได้ที่แรงดันไฟฟ้าต่ำ

ส่วนต่อมาของการกระบวนการโกล์วคิสชาร์ แสดงดังภาพที่ 2-9 โดยช่วงแรกคือช่วงมืดแอสตัน (Aston Dark Space) เป็นบริเวณที่อิเล็กตรอนถูกปล่อยจากค่าโโทดด้วยพลังงานต่ำประมาณ 1 eV ซึ่งไม่สามารถไอออกไนซ์โมเลกุลแก๊สได้ทำให้เกิดเป็นช่วงมืดจากผิวค่าโโทด บริเวณที่มีการเปล่งแสงออกมากด้วยความเข้มสูงมากเรียกว่า ค่าโโทดโกล์ว (Cathode Glow) เป็นบริเวณที่ไอออกของแก๊สจาก การดิสชาร์จ และไอออกของอะตอมสารเคลือบซึ่งถูกผลิตขึ้นบริเวณค่าโโทด มีการรวมตัวเป็นกลา้งกับอิเล็กตรอนใกล้ผิวค่าโโทดด้วยกระบวนการต่างๆ ทำให้เกิดแสงซึ่งเป็นความถี่เฉพาะของสารที่ทำค่าโโทดและของแก๊สที่ใช้ เช่น ถ้าค่าโโทดเป็นทองแดงจะมีถี่เป็นทางคำมีสีส้มแดง แก๊สอาร์กอนมีสีน้ำเงินฟ้า และแก๊สไนโตรเจนมีสีม่วงเป็นต้น

ถัดจากค่าโโทดโกล์วเรียกว่าช่วงมืดครุกหรือช่วงมืดค่าโโทด (Crook or Cathode Dark Space) พลังงานของอิเล็กตรอนมีค่าสูงกว่าพลังงานในการไอออกไนซ์โมเลกุลของแก๊สเมื่อถูกเร่งผ่านสนามไฟฟ้าในระบบปลดปล่อยการชนออกมา ทำให้บริเวณปลดปล่อยการชนไม่มีการไอออกไนซ์เกิดขึ้น จึงไม่เกิดการปลดปล่อยแสงในช่วงนี้และกลา้งเป็นบริเวณมืด ถัดจากระบบปลดปล่อยการชนอิเล็กตรอนทุติยภูมิจะสูญเสียพลังงานส่วนใหญ่โดยการไอออกไนซ์โมเลกุลแก๊ส ไอออกของที่เกิดขึ้นเคลื่อนที่ได้ช้ากว่าอิเล็กตรอนมากทำให้ระบบปลดปล่อยการชนของอิเล็กตรอนมีการสะสมของไอออกของอยู่มาก (Positive Space Charge) ศักย์ไฟฟ้าเกือบทั้งหมดตกคร่อมบริเวณค่าโโทดcar'sคสเปชน์ ทำให้สนามไฟฟ้านี้สูงขึ้นมากและมากเกินพอสำหรับการเร่งอิเล็กตรอนชนและไอออกไนซ์โมเลกุลแก๊สในเวลาถัดมาทำให้ภายหลังการเกิดนอร์มอลโกล์ว แรงดันไฟฟ้าที่ตกคร่อมข้าว อิเล็กโตรดมีค่าลดลงตามกราฟภาพที่ 2-8 ส่วนอิเล็กตรอนเมื่อถูกบริเวณที่ผลิตไอออกของcar'sคสเปชแล้วจะมีพลังงานลดลง ดังนั้นพลังงานที่เหลือจึงเพียงใช้ในการกระตุ้นโมเลกุลของแก๊ส และเกิดการเรืองแสงขึ้น เมื่ออิเล็กตรอนจะเป็นอนุภาคที่เคลื่อนที่ได้เร็วแต่พลังงานที่เหลือน้อยมาก รวมทั้งประจุบวกและประจุลบรวมของไอออกทางด้านซ้ายมือในบริเวณcar'sคสเปชทำให้อิเล็กตรอนใช้เวลาในการเคลื่อนที่ผ่านช่วงเรืองแสงนี้นานขึ้นและเกิดการสะสมประจุบนบริเวณนี้ จึงเรียกว่า แนวทิฟโกล์ว (Negative Glow)

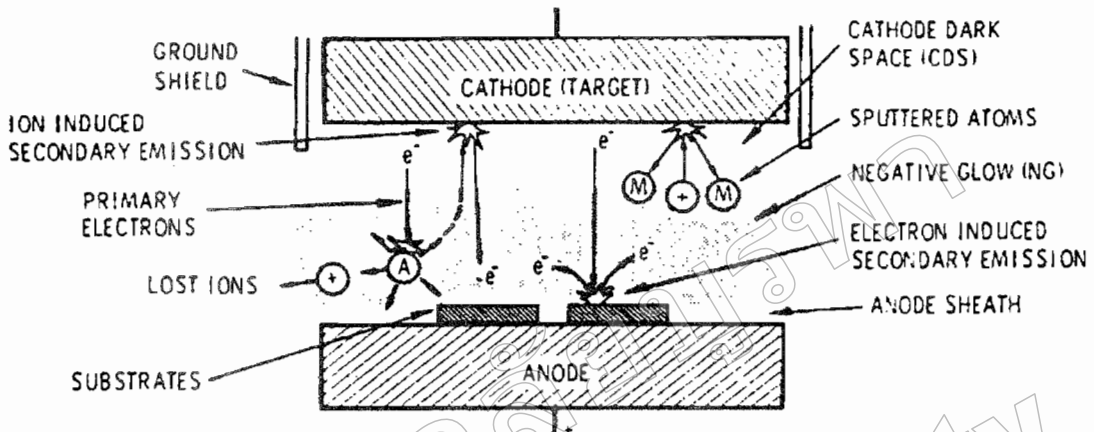
ผลลัพธ์ของอิเล็กตรอนจะลดลงจนไม่สามารถกระตุ้นโหมดกูลแก๊สให้อุ่นในระดับพลังงานสูงได้ ทำให้เกิดบริเวณมืดเรียกว่า ช่วงมืดฟาราเดย์ (Faraday Dark Space) ถ้าหากช่วงนี้กระบวนการที่เกิดขึ้นคล้ายการคิสชาร์จของท่านเซนเซอร์ซึ่งมีปริมาณอิเล็กตรอนค่อนข้างคงที่ถูกเร่งภายใต้สนามไฟฟ้าค่าต่ำๆ ทำให้อิเล็กตรอนถูกเร่งเข้าสู่อาโนด และมีผลลัพธ์ของสูงพอสำหรับไอออนซ์และเกิดการเรืองแสงขึ้นที่บริเวณนี้อีกรึหนึ่ง อิเล็กตรอนซึ่งเคลื่อนที่เร็วจะถูกความเข้าสู่อาโนดอย่างรวดเร็วทำให้พลาสมาบริเวณนี้มีประจุบวกสูงกว่าจึงเรียกว่า ลำเรืองแสงศักย์ไฟฟ้าบวก (Positive Glow Column)

เนื่องจากการรักษาสภาพโกล์ว์ดิสชาร์จขึ้นกับปริมาณของอิเล็กตรอนที่ถูกผลิตขึ้น บริเวณค่าโทดจากการชนของไอออนที่ถูกผลิตบริเวณแรกที่ฟโกล์ว์ จึงพบว่าการเปลี่ยนแปลงตำแหน่งอาโนดเพียงเล็กน้อยจะไม่มีผลต่อกระบวนการโกล์ว์ดิสชาร์จ เมื่อเลื่อนอาโนดเข้าหาค่าโทด จนพื้นที่ช่วงมืดฟาราเดย์เข้าสู่เนกานที่ฟโกล์ว์จะช่วงค่าโทดดาวร์คสเปช ทำให้ปริมาณไอออนที่ถูกผลิตจากอิเล็กตรอนทุกภูมิมีปริมาณน้อยลง การรักษาสภาพโกล์ว์ดิสชาร์จไว้ จำเป็นต้องใช้แรงดันไฟฟ้าที่สูงขึ้นซึ่งจะส่งผลถึงปริมาณไอออนที่ถูกผลิตสูงขึ้นด้วย การโกล์ว์ในลักษณะนี้จะเรียกว่า ออปสตรัคโกล์ว์ (Obstructed Glow) และเมื่อเลื่อนอาโนดเข้าใกล้ค่าโทดต่ำจากพื้นของค่าโทดดาวร์คสเปช ซึ่งมีระยะสั้นกว่าระยะปลดการชนของอิเล็กตรอน จะไม่มีการผลิตไอออนเกิดขึ้นและกระบวนการคิสชาร์จไว้ได้ และถ้าหากมีสิ่งสกปรกบริเวณค่าโทด การอาร์คอาจเกิดขึ้นได้โดยไม่เกิดการโกล์ว์ดิสชาร์จก็ได้

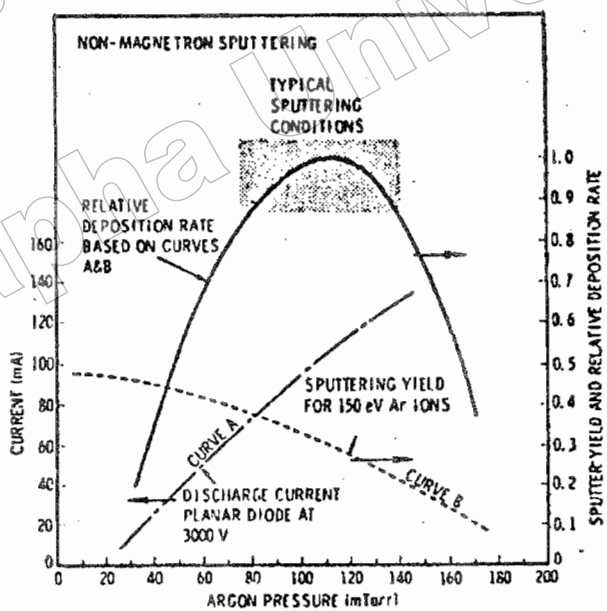
ระบบเคลือบแบบดีซี สปีตเตอริง

ภาพที่ 2-10 แสดงระบบเคลือบแบบดีซีสปีตเตอริงอย่างง่ายที่สุด (พิเชยฐ์ ลิ่มสุวรรณ และชานัสรัตนะ, 2547; Bunshah, 1982; Smith, 1995) ประกอบด้วย ค่าโทด กือ แผ่นเป้าสารเคลือบ และอาโนด กือ ที่วางวัสดุรองรับต้องการเคลือบ ปกติระยะระหว่างค่าโทดและวัสดุรองรับอยู่ระหว่าง 4 - 10 cm เพื่อป้องกันการสูญเสียอะตอมสารเคลือบที่พ่นขึ้นจากนน้ำสูญญากาศ โดยทั่วไประยะดาวร์คสเปชอยู่ระหว่าง 1 - 4 cm โดยอาโนดจะอยู่บริเวณแรกที่ฟโกล์ว์ส่วนอุปกรณ์ทำงานจะอยู่ในช่วงบนของลอดโกล์ว์ดิสชาร์จ แก๊สที่ใช้เป็นแก๊สเพล่อย (ปกติใช้แก๊สอาرغون) ขณะเกิดโกล์ว์ดิสชาร์จที่ความดันค่านี้กระบวนการไอออนไซน์จะรักษาสภาพโกล์ว์ดิสชาร์จไว้ตราบที่ระยะดาวร์คสเปชไม่มากกว่าระยะระหว่างค่าโทดและอาโนด เมื่อความดันลดลงหรือแรงดันไฟฟ้าระหว่างอิเล็กโทรดสูงขึ้นระยะปลดการชนของอิเล็กตรอนจะสูงขึ้นทำให้ระยะดาวร์คสเปชขยายตัวออกและแหล่งผลิตไอออนในระบบมีปริมาตรน้อยกระแสน้ำ และอะตอมที่ถูกสปีตเตอร์มีปริมาณลดลงตามปริมาณของไอออนและกระแสไฟฟ้าในระบบที่ความดันต่ำกว่า

10^{-2} mbar ระยะค่าร์สเปชยาวกว่าระยะระหว่างอิเล็กโตรดและกระแสไฟฟ้าคลังสูงยึดทำให้กระบวนการผลิตไออกอนสินสุดลงและไม่มีอิเล็กโตรดออกจากการเป้าสารเคลื่อนเนื่องจาก การสปีดเตอร์อิก



ภาพที่ 2-10 ระบบเคลื่อนแม่น ดีซี สปีดเตอร์ิง (Bunshah, 1994)



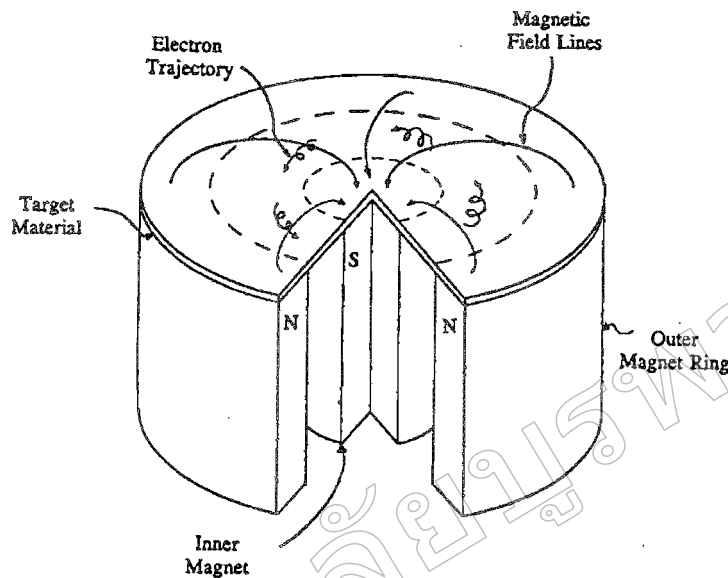
ภาพที่ 2-11 ผลของความดันในระบบที่มีผลต่ออัตราเคลื่อนค่ายล็อกและกระแสไฟฟ้าใน ระบบสปีดเตอร์ิงของนิเกิลที่ใช้แรงดันไฟฟ้า 3,000 V ระหว่างขั้วอิเล็กโตรด ที่กว้างห่างกัน 4.5 cm (Vossen & Kerns, 1978)

ขณะที่ความดันสูงขึ้นจะระบายสารค์สเปชจะหลุดสัมภาระบริเวณการผลิต ไอออนมีปริมาณสูงขึ้นกระแสไฟฟ้าที่ไหลในวงจรเพิ่มขึ้นและกระบวนการสปีตเตอริงเกิดขึ้นในอัตราสูงตามความดัน ดังภาพที่ 2-11 เส้นกราฟ A ขณะที่ความดันภายในระบบสูงขึ้นจะประปิดการชนระหว่างโน้มเลกูลของแก๊สมีค่าลดลงอะตอนสารเคลือบที่หลุดออกจากเปลี่ยงส่งผ่านเคลือบบนวัสดุรองรับได้จากจากการชนกับโน้มเลกูลของแก๊สและสะท้อนกลับสู่เปลี่ยนสารเคลือบหรือสูญเสียสู่ผนังภาชนะ สูญญากาศทำให้ค่าของยีลด์จากการสปีตเตอร์นิมีค่าลดลงแต่มีความดันสูงขึ้น ดังภาพที่ 2-11 เส้นกราฟ B ผลกระทบระหว่างยีลด์และการแสปด์ไอออนจะทำให้อัตราการเคลือบมีค่าสูงสุดที่ความดันค่าหนึ่งที่นี่พบว่าการสปีตเตอร์นิมิเกิดเมื่อใช้แรงดันไฟฟ้า 3,000 V ระหว่างขั้วอิเล็กโทรดที่วางห่างกัน 4.5 cm ในแก๊สอาร์กอนการเคลือบจะหยุดที่ความดันมีค่าต่ำกว่า 2.6×10^{-4} mbar และที่ความดันสูงกว่า 1.6×10^{-5} mbar โดยอัตราเคลือบจะมีค่าสูงสุดและลดลงเมื่อความดันสูงเกินค่านี้ ดังนั้น บริเวณที่เหมาะสมกับกระบวนการสปีตเตอริงคือบริเวณที่ให้อัตราเคลือบสูงและประสิทธิภาพดีที่สุดจากภาพที่ 2-11 พบว่าความดันที่เหมาะสมสำหรับการเคลือบคือ 1.0×10^{-5} mbar ความหนาแน่นกระแสประปามณ 1.0 mA/cm^2 ด้วยอัตราเคลือบ $0.036 \mu\text{m/min}$ ซึ่งเป็นอัตราเคลือบที่ค่อนข้างต่ำในขณะที่ใช้แรงดันไฟฟ้าค่อนข้างสูง (พิเชยจู ลิ่มสุวรรณ และธนสัตชา รัตนะ, 2547)

ระบบเคลือบแบบ ดีซี แมกนีตรอน สปีตเตอริง

อัตราการเกิดสปีตเตอร์นั้นจะขึ้นกับผลคุณระหว่างยีลด์และปริมาณไอออนที่ว่างชัน เป้าสารเคลือบดังนั้นการเพิ่มอัตราการสปีตเตอร์นั้นออกจากจะทำได้โดยการเพิ่มยีลด์แล้วยังทำได้โดยการเพิ่มปริมาณไอออนที่ว่างเข้าชันเป้าสารเคลือบซึ่งในระบบดีซี สปีตเตอริง ปกตินั้นทำได้เพียงการเพิ่มแรงดันไฟฟ้าระหว่างอิเล็กโทรดหรือเพิ่มความดันซึ่งจะมีขีดจำกัดสูงสุดที่ความหนาแน่นกระแสประปามณ 1 mA/cm^2 และความดันประปามณ 1.33×10^{-5} mbar นอกจากนี้ยังพบว่าในระบบดีซี สปีตเตอริง ทั่วไปจะต้องของแก๊สที่จะเกิดการไออ่อนซึ่งมีค่าน้อยกว่า 1% นอกจากนี้ยังมีข้อเสียเมื่อความดันสูงขึ้นจะทำให้ปริมาณแก๊สที่แทรกตัวในฟิล์มนางที่ได้มีค่าสูงด้วย (พิเชยจู ลิ่มสุวรรณ และธนสัตชา รัตนะ, 2547)

ต่อมาในการพัฒนาระบบใหม่เรียกว่าระบบดีซีแมกนีตรอนสปีตเตอริง (พิเชยจู ลิ่มสุวรรณ และธนสัตชา รัตนะ, 2547; Smith, 1995) ซึ่งเป็นการใช้สนามแม่เหล็กช่วยโดยจ่ายสนามแม่เหล็กให้มีทิศทางกับพิวหน้าเป้าสารเคลือบและมีทิศตั้งฉากกับสนามไฟฟ้าซึ่งจะช่วยเพิ่มระยะทางเดินของอิเล็กตรอนให้ยาวขึ้น โดยอันจากของสนามแม่เหล็กจะทำให้อิเล็กตรอนเคลื่อนที่เป็นทางโค้ง (ภาพที่ 2-12) ทำให้การไออ่อนในซึ่งเนื่องจากการชนระหว่างอิเล็กตรอนกับอะตอมแก๊สเนื่อยมีค่าสูงขึ้นซึ่งจะทำให้อัตราการสปีตเตอร์สูงขึ้นด้วย



ภาพที่ 2-12 การเคลื่อนที่ของอนุภาคอิเล็กตรอนในสนามแม่เหล็ก (Rickerby & Matthews, 1991)

หัวข้อการศึกษาการเคลื่อนที่ของอิเล็กตรอนในสนามแม่เหล็ก พน.ว่าถ้าอิเล็กตรอน มีพิสูจน์การเคลื่อนที่ตั้งจากกับสนามแม่เหล็กอิทธิพลของสนามแม่เหล็กจะทำให้อนุภาคประจุนี้ เคลื่อนที่ในแนววงกลม (ภาพที่ 2-13 (a)) ด้วยรัศมี

$$r = \frac{3.37 \sqrt{W}}{B} \quad (2-2)$$

เมื่อ W คือพลังงานของอิเล็กตรอนในหน่วย eV

B คือความเข้มสนามแม่เหล็กในหน่วย gauss

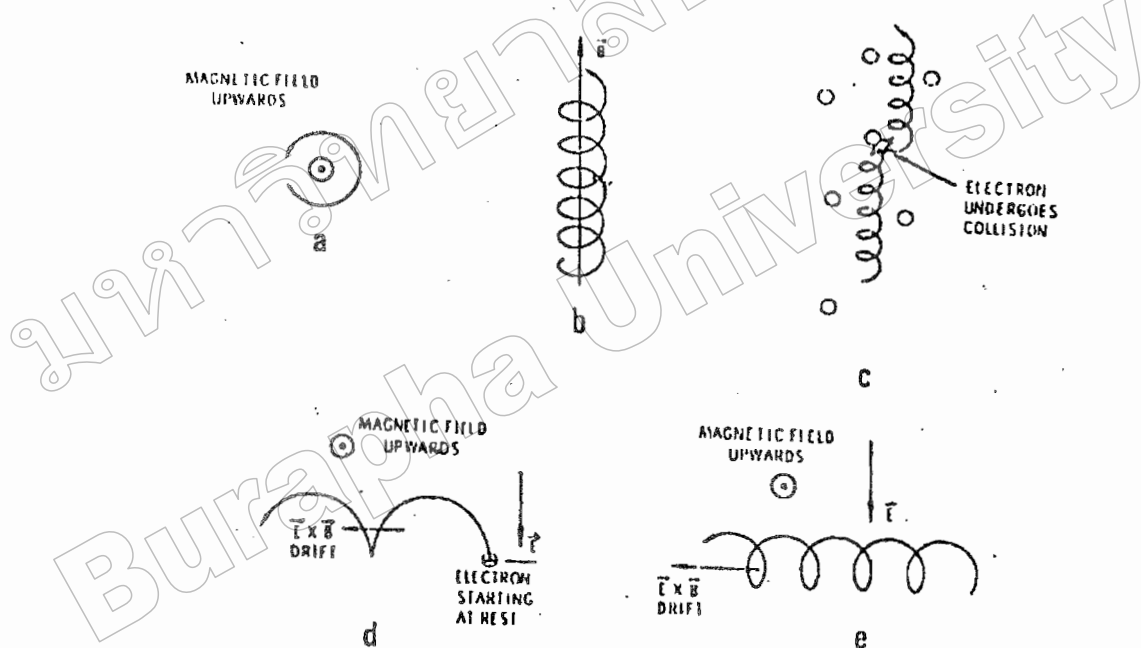
หมุนด้วยความถี่ไซโคลotron $\nu = 2.8 \times 10^6$ Hz

ถ้าพลังงานเฉลี่ยของอิเล็กตรอนในแนวตั้งจากกับสนามแม่เหล็กมีค่า 10 eV และ สนามแม่เหล็กมีความเข้ม 100 gauss รัศมีการหมุนมีค่าเท่ากับ 0.1 cm ด้วยความถี่การหมุนเท่ากับ 2.8×10^8 Hz ภาพที่ 2-13 (b) แสดงอิเล็กตรอนมีความเร็วส่วนหนึ่งในแนวนานกับสนามแม่เหล็ก อิเล็กตรอนจะเคลื่อนที่หมุนคงรอบแนวสนามแม่เหล็กด้วยจำนวนเต็มแรงคงที่ค่าหนึ่งระหว่างนี้ ถ้าอิเล็กตรอนชนกับอะตอมแก๊สภาพที่ 2-13 (c) แนวการหมุนคงรอบสนามแม่เหล็กจะเปลี่ยนไป

ถ้าอิเล็กตรอนเคลื่อนที่ภายในสนามแม่เหล็กและสนามไฟฟ้าซึ่งมีทิศทางตั้งฉากกันอำนวยของสนามทั้งสองนอกจากจะทำให้อิเล็กตรอนเคลื่อนที่ในแนวโถงแล้วยังสามารถทำให้เกิดการเคลื่อนที่ในแนวตั้งฉากกับสนามแม่เหล็กและสนามไฟฟ้าเรียกว่าการเคลื่อนที่แบบลอยเลื่อน (Drift motion) มีค่าเท่ากับ

$$V_E = \frac{10^8 E}{B} \quad (2-3)$$

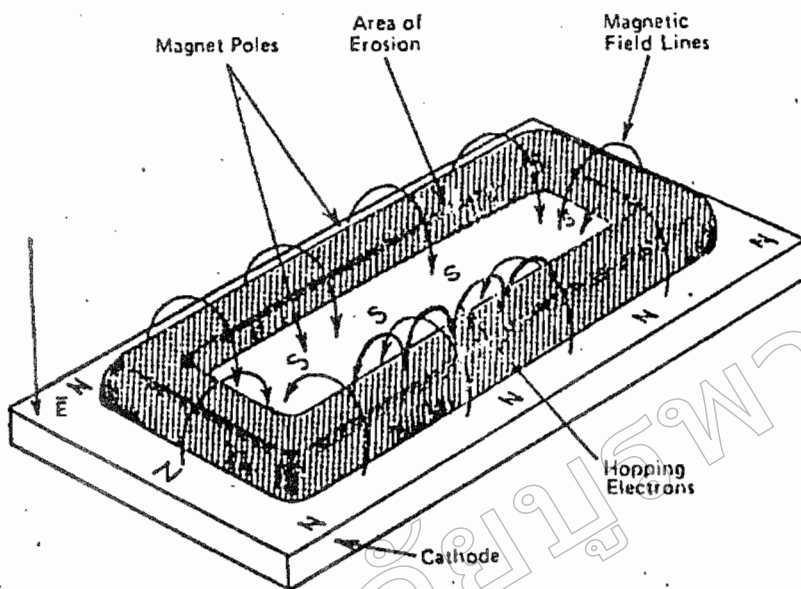
เมื่อ E คือสนามไฟฟ้านวายเป็น V/cm
 B คือความเข้มสนามแม่เหล็กในหน่วย gauss



ภาพที่ 2-13 การเคลื่อนที่ของอนุภาคในสนามต่าง ๆ โดยที่ a, b, c เป็นการเคลื่อนที่ของอนุภาคประจุในสนามแม่เหล็กอย่างเดียวส่วน d และ e เป็นการเคลื่อนที่ของอนุภาคประจุในสนามแม่เหล็กและสนามไฟฟ้าร่วมกันในลักษณะต่าง ๆ (Bunshah, 1994)

กรณีสนามไฟฟ้าบริเวณดาร์คสเปซมีค่าประมาณ $1,000 \text{ V/cm}$ และสนามแม่เหล็กมีค่าประมาณ 100 gauss จะให้ค่าความเร็วอย่างเดือน (Drift Velocity) เท่ากับ 10^7 m/s ซึ่งเป็นค่าที่ค่อนข้างสูงกรณีพลังงานเริ่มต้นของอิเล็กตรอนมีค่าน้อยเมื่อเทียบกับพลังงานที่ได้รับจากสนามไฟฟ้าการเคลื่อนที่ของอิเล็กตรอนจะเป็นรูป Cycloid ดังภาพที่ 2-13 (d) ถ้าอิเล็กตรอนมีพลังงานเริ่มต้นสูงกว่าพลังงานที่ได้รับจากสนามไฟฟ้าการเคลื่อนที่แบบโดยเดือนจะอยู่ในแนววงกลมซ้อนกันดังแสดงในภาพที่ 2-13 (e) พฤติกรรมที่ปรากฏต่ออิเล็กตรอนนี้จะเด่นชัดมากถึงเมื่อใช้สนามแม่เหล็กมีค่าน้อย ๆ ระหว่าง $50 - 500 \text{ gauss}$ แต่จะมีผลในการเบี่ยงเบนแนวทางเดินของไอโอน (ซึ่งมีมวลสูงกว่าอิเล็กตรอนมาก) อย่างไม่เด่นชัด

ระบบสปีตเตอริงที่ใช้สนามแม่เหล็กช่วยเพิ่มปริมาณไอออนนั้นถ้าสนามแม่เหล็กมีทิศทางขนานกับสนามไฟฟ้าจะเรียกว่าสนามตามยาว (Longitudinal Field) จะทำให้ประสิทธิภาพการเพิ่มไอออนไม่สูงนักแต่ไม่ทำให้แนวการเกิดโกลาดิศษาราจเปลี่ยนแปลงไปและยังสามารถรักษาความสม่ำเสมอของพิล์มนบางไว้ได้ดีกรณีของสนามแม่เหล็กตั้งฉากกับสนามไฟฟ้าเรียกว่า สนามตามขวาง (Transverse Field) โดยกระบวนการเพิ่มปริมาณไอออนเกิดขึ้นดังนี้ หลังจากที่ไอออนบวกชนกับปีศาารเคลือบและเกิดการปลดปล่อยอิเล็กตรอนชุดที่สองของมวลอิเล็กตรอนชุดที่สองจะเคลื่อนที่ในลักษณะเดียวกับภาพที่ 2-13 (d) ทำให้อิเล็กตรอนถูกกักอยู่ในบริเวณสนามแม่เหล็กใกล้ค่าโอดและเคลื่อนที่แบบโดยเดือนตามแนวผิวน้ำปีศาารเคลือบมากขึ้นจนเพิ่มปริมาณไอออนสูงมากใกล้ผิวน้ำปีศาารเคลือบอิเล็กตรอนตัวใดที่ไม่ชนโนเดกูลของแก๊สจะเดินทางเป็นวงโค้งเข้าชนปีศาารเคลือบและผลิตอิเล็กตรอนชุดที่สองมากขึ้นเป็นผลทำให้ไอออนถูกผลิตในปริมาณสูงมากและเกิดใกล้ผิวน้ำโอดทำให้เกิดสเปซชาร์จากไอออนบวกสูงที่ผิวน้ำโอดซึ่งอาจสั่นกวนระบบลดการชนในดีซีสปีตเตอริงที่ความดันใช้งานมากแรงเคลื่อนไฟฟ้าเกือบทั้งหมดจะตกร่วมบริเวณนี้ และมีค่าสนามไฟฟ้าสูงกว่าบริเวณดาร์คสเปซในดีซีสปีตเตอริงขณะไม่มีสนามแม่เหล็กมาก ทำให้ความต้องการแรงดันไฟฟ้าระหว่างขั้วอิเล็กโทรดของระบบแมgnitor ต่ำลง ทั่วไปมีค่าประมาณ $300 - 800 \text{ V}$ ถ้าใช้สนามแม่เหล็กกับแมgnitor แรงดันไฟฟ้าจะต่ำลง $100 - 200 \text{ V}$ สำหรับการสปีตเตอริงแบบดีซีสปีตเตอริงที่ใช้แบบแผ่นราบจะเรียกว่า พลานาร์แมgnitor ต่ำลง สปีตเตอริง (Planar Magnetron Sputtering)



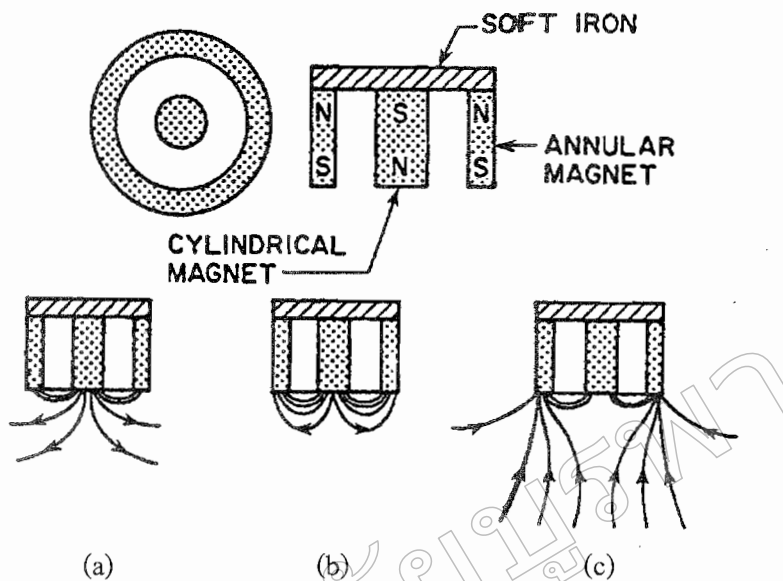
ภาพที่ 2-14 การจัดสนามแม่เหล็กและแนวการกัดกร่อนของเป้าสารเคลือบในระบบพลาสมา
แมgnีตอ่อน สปีดเตอริง (Chapman, 1980)

ประสิทธิภาพการเพิ่ม ไอออนที่สูงมาก ในระบบแมgnีตอ่อนและพลาสม่าที่เกิดขึ้นจะเข้มมากบริเวณเป้าสารเคลือบ ทำให้อัตราการสปีดเตอร์ของระบบนี้มีค่าสูงขณะที่ความดันในระบบจะมีค่าต่ำแรงดันไฟฟ้าระหว่างอิเล็กโตรดมีค่าเกือบคงที่ในทุกค่าของอัตราการสปีดเตอร์แมgnีตอ่อนสปีดเตอริงทั้งระบบออกทั่วไป มีอัตราการสปีดเตอร์สูงกว่า $1.0 \text{ } \mu\text{m/min}$ และมีอัตราเคลือบสูงกว่า $0.2 \text{ } \mu\text{m/min}$ ความหนาแน่นกระแสที่ผิวคาดประมาณ 20.0 mA/cm^2 แรงดันไฟฟ้าระหว่างอิเล็กโตรดมีค่าระหว่าง $300 - 800 \text{ V}$ ที่ความดันประมาณ $5.33 \times 10^{-5} \text{ mbar}$ ประสิทธิภาพการเคลือบสูงขึ้นกว่า 10 เท่าตัวของจากนี้ยังสามารถขยายสเกลใช้กับระบบสปีดเตอริงขนาดใหญ่ได้ง่ายเมื่อออกแบบใช้งานร่วมกับไตรโอดสปีดเตอริงระบบสามารถเคลือบได้ที่ความดันต่ำถึง 10^{-5} mbar

ระบบเคลือบแบบ อันนาลันซ์ แมกนีตรอน สปัตเตอริง

ในการเคลือบฟิล์มพบว่า ถ้าระดมยิง ไออ่อนระหว่างการเกิดฟิล์มจะเป็นการเปลี่ยนแปลงฟิล์มหลายอย่าง เช่น พฤติกรรมการเกิดนิวเคลียส (Nucleation Behaviour) สัมฐานวิทยา (Morphology) องค์ประกอบ (Composition) ทิศทางการจัดเรียงตัวและสมบัติเชิงกล เป็นต้น ในกรณีแมกนีตรอนสปัตเตอริง ไออ่อนที่ใช้ในการระดมยิงวัสดุรองรับจะมาจากประจุไฟฟ้าที่อยู่รอบวัสดุรองรับซึ่งทำได้โดยการจ่ายศักย์บนประมาณ 1 - 500 V ให้กับวัสดุรองรับ อย่างไรก็ได้ ความหนาแน่นกระแสที่ฟิล์มหรือผิวน้ำของวัสดุรองรับสำหรับระบบดีซีแมกนีตรอน ปกติจะมีค่าต่ำประมาณ 0.05 - 0.10 ไออ่อน/อะตอมสารเคลือบ แต่การใช้งานจริงต้องมีค่าสูงกว่านี้ (Rohde & Munz, 1991)

สำหรับการเคลือบแข็ง (Hard coating) ฟิล์มนางที่ต้องการน้ำหนักต้องมีช่องว่าง (Voids) ในเนื้อฟิล์มน้อยที่สุดซึ่งจะทำให้ฟิล์มบางที่ได้นั่น มีความทนต่อการกัดกร่อน (Corrosion) และทนต่อการขัดสี (Wear Resistance) มากยิ่งขึ้น โดยการลดซึ่งว่างในเนื้อฟิล์มนี้สามารถทำได้โดย การเพิ่มความต่างศักย์ไปแอสไทร์กับวัสดุรองรับแต่ก็จะทำให้เกิดความคนและความบกพร่อง (Defects) ภายในกราน (Grain) ของฟิล์มมากขึ้น เมื่อความต่างศักย์ไปแอสเพิ่มขึ้นด้วยซึ่งจะทำให้คุณภาพของฟิล์มและการยึดติดของฟิล์มกับวัสดุรองรับลดลงเป็นหนานี้สามารถแก้ได้โดยการเพิ่มความหนาแน่นของกระแส ไออ่อน (อัตราส่วนของ ไออ่อน/อะตอมสารเคลือบ) ซึ่งสามารถทำได้โดยใช้ระบบเคลือบแบบ อันนาลันซ์ แมกนีตรอน สปัตเตอริง (Unbalanced Magnetron Sputtering) (Rohde & Munz, 1991; Sproul, 1992)

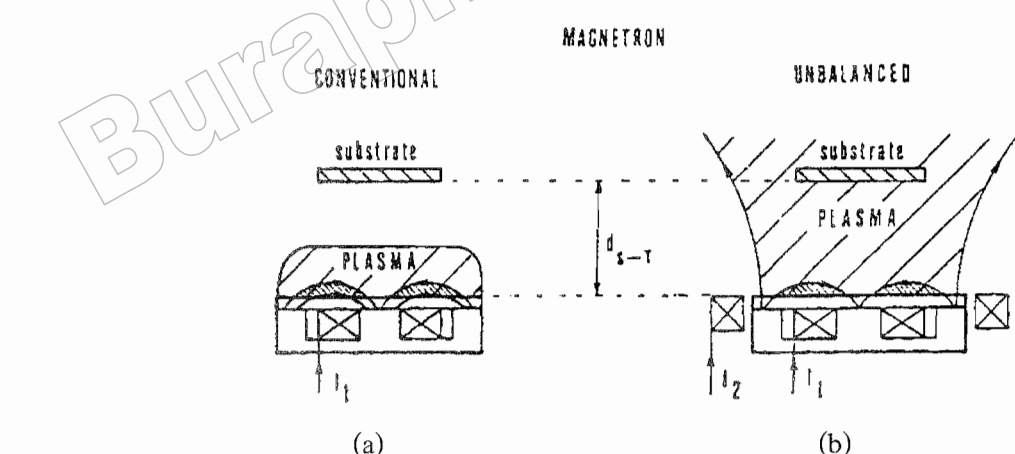


ภาพที่ 2-15 ลักษณะเส้นแรงแม่เหล็กของระบบอันบานานซ์ เมกนีตอรอน สปีดเตอริง

(Rickerby & Matthews, 1991)

ระบบอันบานานซ์ เมกนีตอรอน สปีดเตอริง ได้รับการคิดค้นและพิมพ์เผยแพร่โดย Window และ Savvides ครั้งแรกในปี ค.ศ.1986 โดยทั้งสองพบว่าการติดตั้งแม่เหล็กที่คากโตกของระบบสปีดเตอริงปกตินั้นถ้าหากทำให้ความเข้มของสนามแม่เหล็กด้านใดด้านหนึ่งมากหรือน้อยกว่าอีกด้านหนึ่งแล้วสนามแม่เหล็กที่คากโตกจะมีลักษณะไม่สมมาตรทำให้ปริมาณไออกอนที่ว่างเข้าชนหรือระดมยิงวัสดุรองรับนั้นมีปริมาณเพิ่มขึ้นมากกว่าปกติซึ่งจะมีผลต่อคุณภาพของฟิล์ม โดยตรงการจัดแม่เหล็กของระบบนี้อาจแบ่งเป็น 3 แบบคือความเข้มสนามของแม่เหล็กที่ด้านในมากกว่าด้านนอก (ภาพที่ 2-15 (a)) หรือกลับกัน (ภาพที่ 2-15 (c)) หรือใกล้เคียงกัน (ภาพที่ 2-15 (b)) ถ้าจัดแม่เหล็กตามภาพที่ 2-15 (a) ไออกอนที่ระดมยิงวัสดุรองรับจะมีค่าต่ำ (อัตราส่วนไออกอน/อะตอมสารเคลื่อนประมาณ 0.25 : 1) ส่วนการจัดแม่เหล็กตามภาพที่ 2-15 (c) ไออกอนที่ระดมยิงวัสดุรองรับจะมีค่าเพิ่มมากขึ้นทำให้อัตราส่วนไออกอน/อะตอมสารเคลื่อนมีค่าสูงขึ้น คือประมาณ 2 : 1 (เมื่อใช้ความต่างศักย์ไฟฟ้าและตัวเร้า) ปัจจุบันมีนักวิจัยหลายกลุ่มที่นำแนวคิดนี้ไปประยุกต์ใช้อย่างแพร่หลายซึ่งมีทั้งที่ใช้แม่เหล็กแบบถาวรและแม่เหล็กไฟฟ้าจากการศึกษาของ Musil และ Kadlec ที่ระบบเคลื่อนใช้อันบานานซ์พลา нар์เมกนีตอรอนเดี่ยวและชุดสอง แม่เหล็กไฟฟ้า 2 ชุด เคลื่อนไฟฟ้านามัยในไตรด์ที่ระยะเป้าสารเคลื่อนและวัสดุรองรับประมาณ 200.0 mm โดยใช้ความต่างศักย์ไฟฟ้าและตัวเร้า 2 ตัว ที่สามารถทำให้ได้ความหนาแน่นกระแสสูงถึง 6.0 mA/cm^2 ซึ่งสูงมากพอสำหรับใช้ในงานอุตสาหกรรม (Munz, 1991)

หากพิจารณาเปรียบเทียบระบบสปัตเตอริงทั้ง 3 ระบบ จะพบว่าในกรณีระบบสปัตเตอริงปกตินั้นอิเล็กตรอนที่เกิดจากการไอโอดีนไนซ์จะวิ่งไปจับที่อาโนดโดยไม่เกี่ยวข้องกับกระบวนการสปัตเตอร์เลยดังนั้นเพื่อให้ระบบสปัตเตอริงมีประสิทธิภาพมากขึ้นจึงมีแนวคิดที่จะนำอิเล็กตรอนเหล่านี้เข้ามาช่วยในการกระบวนการสปัตเตอร์ซึ่งทำได้โดยการใช้สนามแม่เหล็กช่วยจึงเกิดระบบแมgnีตرونสปัตเตอริงซึ่งเป็นที่ใช้สนามแม่เหล็กช่วยทำให้เกิดอิเล็กตรอนบริเวณหน้าคากาโทดเพิ่มขึ้นเนื่องจากอิเล็กตรอนเหล่านี้จะมีส่วนช่วยทำให้กระบวนการสปัตเตอริงคงอยู่อย่างต่อเนื่องจากจำนวนของสนามแม่เหล็กจะทำให้อิเล็กตรอนเคลื่อนที่เป็นทางโค้งทำให้เกิดการไอโอดีนไนซ์อะตอมแก๊สเฉี่ยบสูงขึ้นนอกจากนี้สนามแม่เหล็กและสนามไฟฟ้ายังทำให้การเคลื่อนที่ของอิเล็กตรอนที่วิ่งเข้าชนเป้าสารเคลือบมีลักษณะเป็นการชนแบบซ้ำๆ ต่อเนื่องกันทำให้เกิดอิเล็กตรอนชุดที่สองออกมายังบริเวณมากขึ้นซึ่งทำให้เกิดการสนับสนุนรماตามไปด้วย แต่ถ้าจึงมีอิเล็กตรอนบางส่วนที่มีพลังงานสูงซึ่งสามารถหลุดออกจากจำนวนของสนามแม่เหล็กนี้ได้ซึ่งจะวิ่งเข้าหาข้อว่าโนดโดยทันที สำหรับในระบบอันบาลานซ์แมgnีตرونสปัตเตอริงนั้น อิเล็กตรอนพลังงานสูงที่หลุดออกจากสนามแม่เหล็กจะถูกยึดไว้ด้วยเส้นแรงแม่เหล็กส่วนเกินของระบบแล้วเคลื่อนที่เป็นทางโค้งไปตามเส้นแรงแม่เหล็กเข้าชนกับอะตอมของแก๊สเฉี่ยบและเกิดการไอโอดีนไนซ์เป็นพลาสมาชุดที่สองบริเวณผิวน้ำข้างของวัสดุรองรับทำให้ความหนาแน่นกระแสที่วัสดุรองรับมีค่าสูงมากกว่าในระบบแมgnีตرونสปัตเตอริงปกติมาก ($5.0 - 10.0 \text{ mA/cm}^2$ ปกติมีค่าน้อยกว่า 1.0 mA/cm^2) โดยพลาasmaที่เกิดขึ้นนี้จะมีส่วนช่วยในการเคลือบฟิล์มที่เรียกว่า Ion-Assisted Deposition ซึ่งจะให้ฟิล์มบางที่ได้นั้นมีความหนาแน่นสูงและมีการยึดติดดีมาก (Munz, 1991)

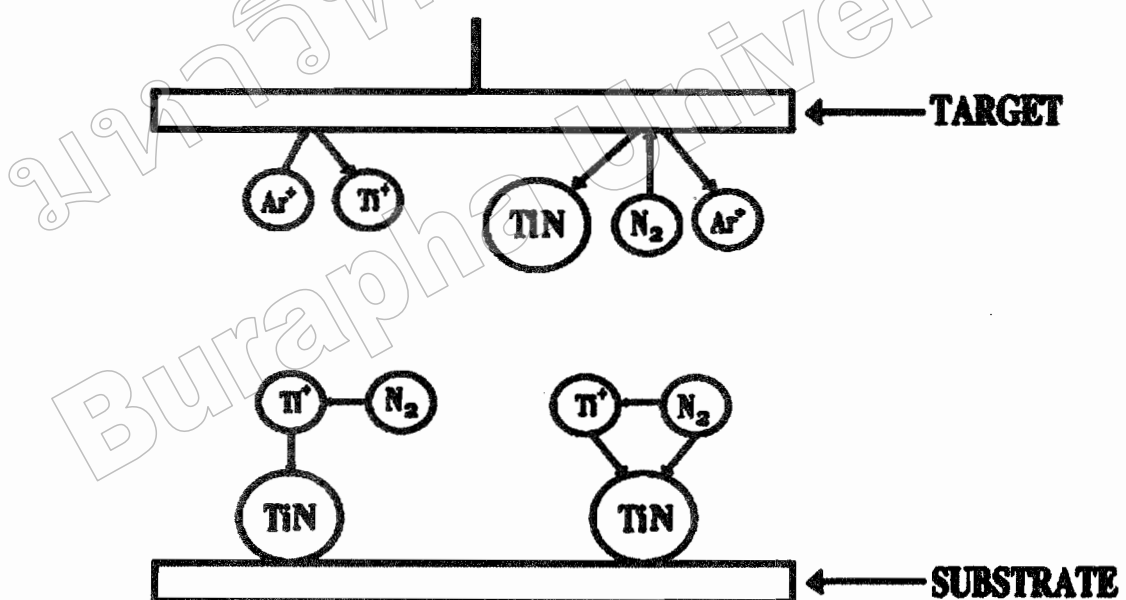


ภาพที่ 2-16 ลักษณะพลาasmaของระบบสปัตเตอริง (Munz, 1991)

- ระบบบาลานซ์ แมgnีตرون สปัตเตอริง
- ระบบอันบาลานซ์ แมgnีตرون สปัตเตอริง

การเคลือบฟิล์มนางด้วยวิธี รีแอคตีฟ สปัตเตอริง

สำหรับกระบวนการรีแอคตีฟสปัตเตอริง (Reactive Sputtering) มติ ห่อประทุม (2548) ได้อธิบายไว้ว่าเป็นกระบวนการสปัตเตอริงที่มีการป้อนแก๊สไวปฎิกิริยา (Reactive Gas) เข้าสู่ระบบ เพื่อให้เกิดสารประกอบของฟิล์มตากเคลือบบนชิ้นงานหรือวัสดุรองรับการสปัตเตอร์ที่มีเป้าสารเคลือบเป็นโลหะบริสุทธิ์ โดยการป้อนแก๊สไวปฎิกิริยา จะทำให้เกิดสารประกอบต่าง ๆ ของโลหะได้ เช่น การป้อนแก๊สในไตรเจนอาจทำให้เกิดโลหะในไตร์ฟลีป้อนแก๊สอะเซทีลีน (C_2H_2) หรือ มีเทน (CH_4) อาจเกิดเป็นสารประกอบของโลหะคาร์ไบด์ เป็นต้น โดยปกติความดันแก๊สไวปฎิกิริยาที่ใช้ก่อนข้างต่ำจะไม่เพียงพอต่อการเกิดปฏิกิริยาในสภาพะปกติอย่างไรก็ตาม คาดกันว่าอิเล็กตรอนในพลาสม่าที่มีส่วนในการกระตุนหรือไอօนในซึ่งแก๊สไวปฎิกิริยาให้มีความสามารถในการทำปฏิกิริยากับโลหะได้สูงกว่าสภาวะปกติ โดยแก๊สไวปฎิกิริยา เช่น แก๊สไนโตรเจน (N_2) อาจรวมตัวกันกับโลหะ เช่น ไทเทเนียม (Ti) และเกิดเป็นสารประกอบไทเทเนียมในไตรด์ (TiN) ตามภาพที่ 2-17 ได้เป็น 3 ลักษณะ ดังนี้



ภาพที่ 2-17 การเกิดปฏิกิริยารวมตัวกันเป็นสารประกอบระหว่างแก๊สไวปฎิกิริยา กับ อะตอม เป้าสารเคลือบในบริเวณต่าง ๆ (มติ ห่อประทุม, 2548)

1. แก๊สไวป์กิริยา เช่น แก๊สในไตรเจนทำปฏิกิริยากับอะตอมไทเทเนียมที่ผิวน้ำ เป้าของสารเคลือบ ถ้ายเป็นสารประกอบไทเทเนียมในไตรค์แล้วถูกสปัตเตอร์ให้หลุดออกแล้ว ตกเคลือบลงบนแผ่นวัสดุรองรับ ปฏิกิริยาส่วนนี้เกิดขึ้นสูงเมื่อความดันย่อยของแก๊สไวป์กิริยาในระบบมีค่าสูง พบว่า ในการเคลือบไทเทเนียมในไตรค์บนฟิล์มเคลือบที่เป้าสารเคลือบ ส่วนที่มีอัตราการสปัตเตอร์ต่ำจะปรากฏฟิล์มของสีทองไทเทเนียมบริเวณนั้น ปรากฏการณ์นี้เรียกว่า Target Poisoning มีผลทำให้อัตราการเคลือบลดลง

2. แก๊สไวป์กิริยา เช่น แก๊สในไตรเจนรวมตัวกับอะตอมไทเทเนียมที่ถูกสปัตเตอร์ ในระหว่างทางวิ่งสู่แผ่นวัสดุรองรับแล้วตกเคลือบลงบนแผ่นวัสดุรองรับ กระบวนการนี้ในทางทฤษฎี ถือว่าเกิดได้น้อยมากเนื่องจากสภาวะของการทำปฏิกิริยาไม่เหมาะสมตามกฎอนุรักษ์พลังงานและโมเมนตัม แต่เป็นไปได้ที่การรวมตัวของสารประกอบจะเกิดในช่วงนี้

3. แก๊สไวป์กิริยา เช่น แก๊สในไตรเจนรวมตัวกับไทเทเนียมบนผิววัสดุรองรับหรือชิ้นงาน การทำรีแอคตีฟสปัตเตอร์ริง โดยทั่วไปความดันแก๊สไวป์กิริยาที่เหมาะสมต่อการเกิดสารประกอบที่ต้องการมีค่าต่ำกว่าช่วงที่เกิดขบวนการ โกล์ว์คิษาร์จ ในกระบวนการจึงใช้แก๊สไวป์กิริยากับแก๊สชนิดอื่นที่ให้รักษาสภาวะ โกล์ว์คิษาร์จไว้ได้ ในเวลาเดียวกันช่วยให้อัตราเคลือบสูงขึ้น ในการทำรีแอคตีฟสปัตเตอร์ริง ยังมีสิ่งที่ต้องคำนึงถึงคือความดันย่อยของแก๊สไวป์กิริยาต้องมีค่าพอเหมาะสมกับการเกิดฟิล์มสารประกอบที่ต้องการ เช่น การเคลือบสารประกอบ Ferroferric Oxide (Fe_3O_4) ความดันแก๊สออกซิเจนที่ใช้ในรีแอคตีฟสปัตเตอร์ริง ถูกจำกัดในช่วงความดันแคบมาก ถ้าความดันย่อยของแก๊สออกซิเจนมากไปจะเกิดสารประกอบของ Ferric Oxide (Fe_2O_3) ถ้าน้อยเกินไปจะเกิดสารประกอบ Ferrous Oxide (FeO) หรือฟิล์มของเหล็ก (Fe)

การหาลักษณะเฉพาะของพิล์มบาง

ลักษณะเฉพาะหรือสมบัติต่าง ๆ ของพิล์มบาง สามารถวิเคราะห์หรือหาได้จากเทคนิคต่างๆ หลายเทคนิค ในงานวิจัยนี้จะศึกษาลักษณะเฉพาะของพิล์มบางต่อไปนี้ โครงสร้างผลึกเฟส ลักษณะพื้นผิว และความหนา ด้วยเทคนิคต่าง ๆ ดังนี้

1. การศึกษาโครงสร้างด้วยเครื่อง X-ray Diffractrometer (XRD)

ลักษณะเฉพาะสำคัญอย่างหนึ่งของพิล์มบางคือการศึกษาโครงสร้างผลึก หรือ เฟส ซึ่งสามารถวิเคราะห์ได้ด้วยเทคนิคการวิเคราะห์การเลี้ยวเบนของรังสีเอกซ์ (Diffraction Analysis) กลม เอี่ยมพนา กิจ (2547) อธิบายหลักการของเทคนิคนี้ไว้ว่า ดังนี้ การวิเคราะห์การเลี้ยวเบนของรังสีเอกซ์เป็นเทคนิคที่ใช้สำหรับการแยกแยะ โครงสร้างของสารที่ใช้ในการเคลือบ โดยการวิเคราะห์ อาศัยการเปรียบเทียบรูปแบบการเลี้ยวเบนกับมาตรฐาน JCPDS (Joint Committee on Powder Diffraction Standard) ของสารนั้น ดังนี้เทคนิค XRD เป็นเทคนิคสำหรับวัดค่าความเข้มของรังสีเอกซ์ที่สะท้อนจากผลึก ใช้หลักการของการเลี้ยวเบนของคลื่น โดยพบว่ารังสีเอกซ์เลี้ยวเบนไดเมื่อ ให้ตกรอบผลึกซึ่ง Bragg ได้เสนอแนวคิดว่าสามารถมองผลึกประกอบด้วยชั้น (Layer) หรือ ระนาบ (Plane) ของอะตอมซึ่งสามารถสะท้อนคลื่นที่ตกรอบ โดยมุมที่ตกรอบเท่ากับมุม สะท้อนทั้งนี้คลื่นที่สะท้อนออกไปจากระนาบต่าง ๆ ดังกล่าวจะมีความเข้มสูง สำหรับรังสีเอกซ์ 1 และ 2 ตกรอบทำมุม θ กับระนาบของผลึก A และ B สนามไฟฟ้าของรังสีเอกซ์จะก่อให้เกิดแรงคูลومบ์ กระทำบนอิเล็กตรอนที่ P กับ Q ให้สัมภัยความถี่เดียวกับรังสีเอกซ์ที่ตกรอบ และอิเล็กตรอนนั้นແ劈คลื่นแม่เหล็กไฟฟ้าเป็นรังสีเอกซ์ออกไปทุกทิศทางแต่ในทิศทาง $1'$ และ $2'$ ซึ่งเสมือนรังสีเอกซ์สะท้อนออกจากระนาบของผลึกจะไปแทรกสอดแบบเสริมกัน (In Phase) แม้ว่า แบบจำลองที่กล่าวมาจะไม่ถูกต้องในทางกายภาพ เนื่องจากแท้จริงแล้วระนาบของอะตอมไม่ได้ สะท้อนคลื่นแต่เวียนกันใช้ได้ในทางเรขาคณิต พิจารณา

$$\delta = n\lambda \quad (2-4)$$

เมื่อ δ คือ ความแตกต่างของระยะที่คลื่นเดินทาง

λ คือ ความยาวคลื่น

n คือ จำนวนเต็มใด ๆ

จากภาพที่ 2-18

$$\delta = SQ + QT = 2SQ \quad (2-5)$$

จากรูปตรีโกณมิติพื้นฐาน

$$\delta = 2PQ \sin \theta \quad (2-6)$$

โดย PQ คือ ระยะห่างระหว่างระนาบ d_{hkl}

$$\delta = 2d \sin \theta \quad (2-7)$$

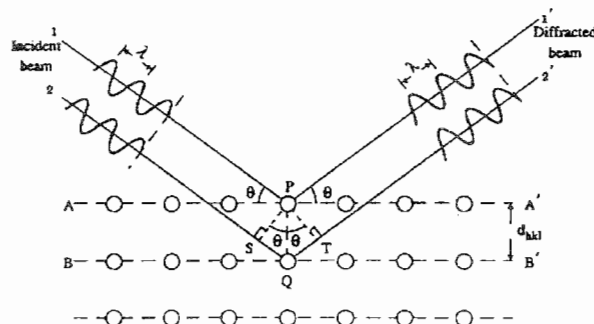
จากสมการ (2-4) เท่ากับ (2-7) จะได้

$$2d_{hkl} \sin \theta = n\lambda \quad (2-8)$$

เรียกสมการที่ 2-8 นี้ว่า สมการการเลี้ยวเบนรังสีเอกซ์จากผลึก (Bragg's law)

โดยที่ λ เป็นความยาวคลื่น n เป็นลำดับของการสะท้อน d_{hkl} เป็นระยะห่างระหว่างระนาบ (hkl) และ θ เป็นมุมต่อกลางและมุมสะท้อนเมื่อวัดจากแนวระนาบที่กำลังพิจารณา

ในภาพที่ 2-18 เป็นแบบจำลองสำหรับการพิสูจน์กฎของเบร็ก อะตอนเรียงตัวเป็นรูปเรขาคณิต โดยมีระยะห่างระหว่างอะตอนไม่ถูกต้องกับความยาวคลื่นของรังสีเอกซ์ ($\sim 10^{-10}$ m) จะทำให้เกิดการสอดคล้องกันได้ยาก แต่จะเป็นกรณีที่สอดคล้องกันได้ดีหากความยาวคลื่นของรังสีเอกซ์ ($\sim 10^{-10}$ m) กระทำการส่องในรูปแบบเดียวบน แต่จะเป็นกรณีที่สอดคล้องกันได้ยากหากความยาวคลื่นของรังสีเอกซ์ ($\sim 10^{-10}$ m) กระทำการส่องในรูปแบบสามมิติ



ภาพที่ 2-18 แบบจำลองการเรียงตัวของอะตอน (กมล เอี่ยมพนาภิจ, 2547)

สัญญาณที่ตรวจจับได้จะแสดงออกมาในรูปแบบของการเลี้ยวเบนรังสี (Diffraction Pattern) ความเข้มของสัญญาณขึ้นอยู่กับหลายปัจจัยด้วยกัน เช่น โครงสร้างของวัสดุปรินิมาตรของวัสดุที่เพร่งสี (Volume of Irradiated Material) รูปทรงของการหักเห (Diffraction Geometry) และการวางชิ้นงาน (Sample Alignments) เป็นต้น

ตำแหน่งของพีคที่มีค่ามากที่สุด สามารถบอกถึงขนาดและรูปร่างของหน่วยเซลล์ได้ ในขณะที่ความกว้างใช้หาค่าขนาด การจัดเรียงตัว (Orientation) และความเครียด (Strain) ภายในกรอบของวัสดุหลายผลึก โดยอาศัย Seherrer equation ดังสมการที่ 2-9

$$L = \frac{k\lambda}{\beta \cos\theta} \quad (2-9)$$

เมื่อ L คือ ขนาดของผลึกฟิล์ม ปีกเท่านี้บนปีกของรังสี

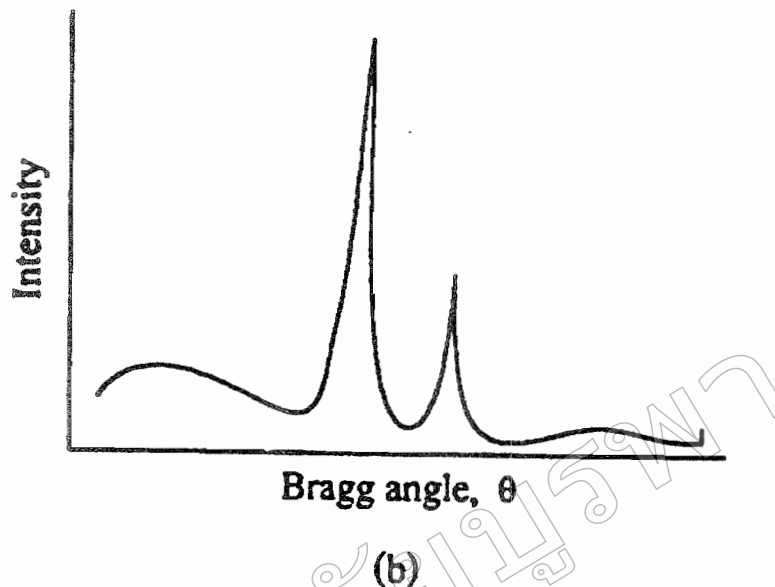
k คือ ค่าคงที่เท่ากับ 0.94

λ คือ ความยาวคลื่นของรังสีเอกซ์ ($\text{CuK}_\alpha = 1.5406 \text{ \AA}$)

β คือ ความกว้างครึ่งหนึ่งของพีคที่มีค่าความเข้มสูงสุด

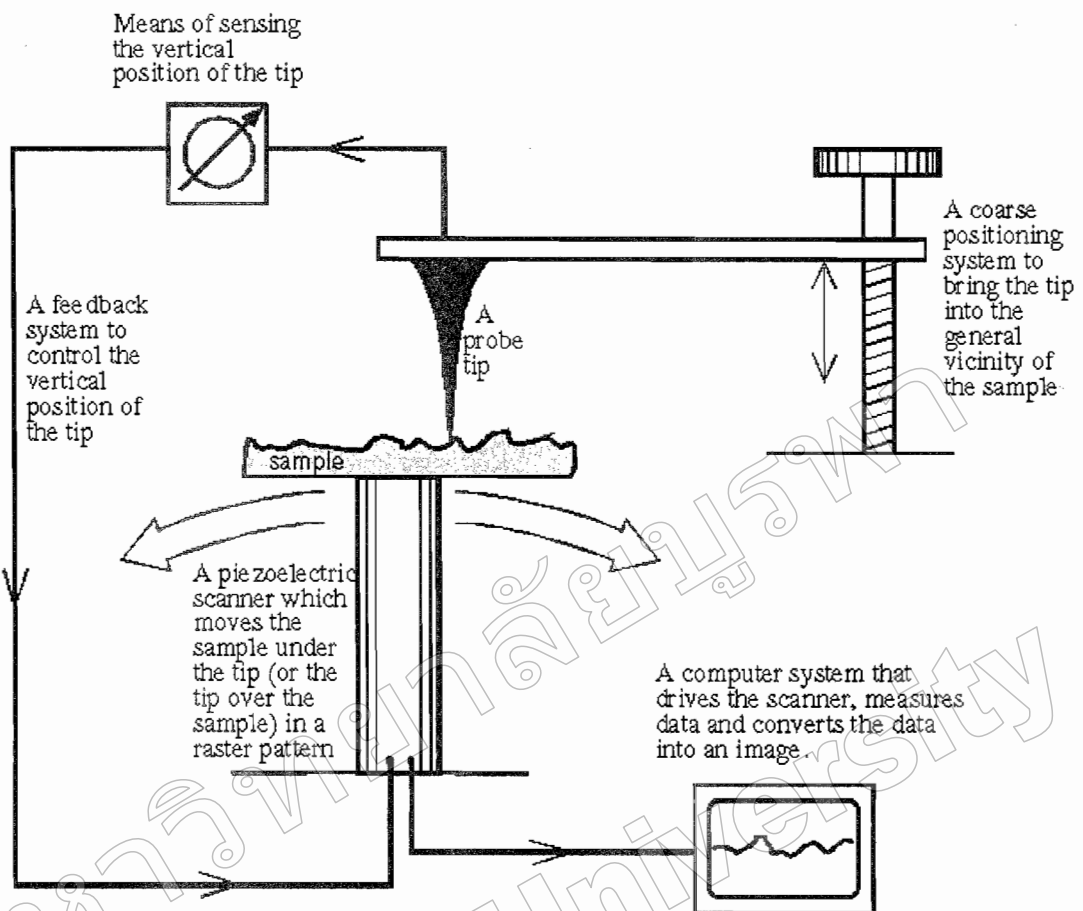
θ คือ ครึ่งหนึ่งของมุมตรงจุดศูนย์กลางพีค

บางครั้งตำแหน่งของรูปแบบการเลี้ยวเบนที่วัด ให้อาจจะต่อเนื่องไปด้วยค่ามุมที่สูงขึ้น เนื่องจากผลของการเเก้ไขค้าง (Residual Stress) ในผิวสารเคลือบนั้นเอง ส่วนความเข้มของสัญญาณที่ได้อาจไม่เป็นไปตามค่ามาตรฐาน JCPDS เพราะเกิดการจัดเรียงตัวในทิศทางที่ชอบ (Preferred Orientation) ของอะตอมในฟิล์ม นอกจากนี้เทคนิคการเลี้ยวเบนของรังสีเอกซ์ยังสามารถให้ข้อมูลที่บอกรถึงส่วนผสมทางเคมีของเฟส (Phase Composition) และค่าพารามิเตอร์ของแต่ละทิช (Lattice Parameter)



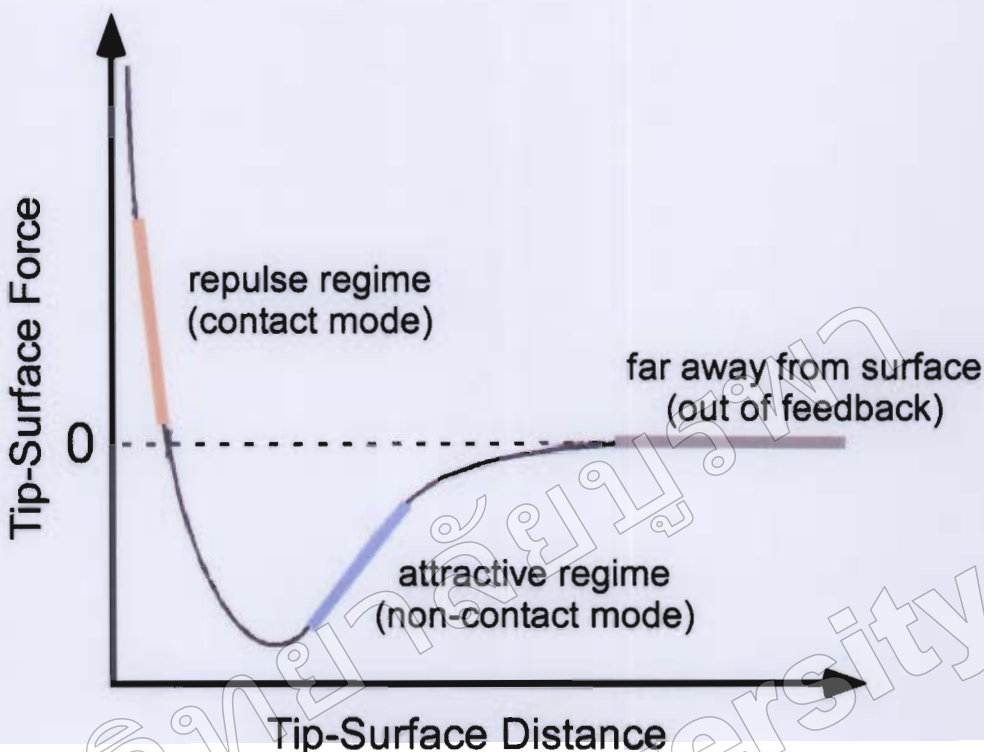
ภาพที่ 2-19 ความเข้มของพีกที่แสดงถึงรูปแบบผลึกของวัสดุในตำแหน่งที่มีการสะท้อนรังสี
(มติ ห้องประชุม, 2548)

2. การศึกษาลักษณะพื้นผิวด้วยเครื่อง Atomic Force Microscopy (AFM) ลักษณะเฉพาะสำคัญอีกอย่างหนึ่งของฟิล์มบางคือการศึกษาลักษณะพื้นผิวและความหนาเทคนิคที่นิยมใช้ใน การศึกษาความหนาและลักษณะพื้นผิวของฟิล์มบางในระดับนาโน คือ Atomic Force Microscopy (AFM) ซึ่ง จตุพร วุฒิกานกภานุน (2542) ได้อธิบายหลักการทำงานของเครื่อง AFM ไว้ว่าดังนี้ เทคนิค Atomic Force Microscopy เป็นการสร้างภาพของผิววัสดุจากแรงกระทำระหว่างผิววัสดุกับตัวตรวจวัดที่ทำการขึ้นขนาดเล็ก (Probe Tip) และเป็นเทคนิคหนึ่งในกลุ่มของ Scanning Probe Microscopy (SPM) ซึ่งเป็นกลุ่มเทคนิคที่สามารถใช้ในการศึกษาสภาพพื้นผิวของวัสดุประเภทต่างๆ ได้ หลักการพื้นฐานคือ การใช้เข็มตรวจขนาดเล็กที่ทำจากซิลิโคนในไตรด์ (Silicon Nitride; Si_3N_4) เคลื่อนที่กราด (Scan) ไปทั่วบริเวณต่างๆ ของผิววัสดุ โดยมีตัวเพียโซอิเล็กทริก สแกนเนอร์ (Piezoelectric Scanner) เป็นตัวควบคุม สภาพผิวที่แตกต่างกันไป โดยตัวคานมเข็มจะติดอยู่จะมีการโค้งงอ (Bending) ปริมาณการโค้งงอนี้สามารถตรวจวัดได้โดยใช้โฟโตเดกเตอร์ (Photo Detector) ดังภาพที่ 2-20 ภาพที่ได้จากเทคนิคนี้จะสอดคล้องตามสภาพพื้นผิวในแต่ละบริเวณที่ตรวจสอบ ในเทคนิค AFM นี้ สิ่งที่ทำให้คานที่มีเข็มเกาะอยู่เกิดการโค้งงอขึ้นก็คือ แรงกระทำระหว่างอะตอมซึ่งอาจจะเป็นแรงดึงดูดหรือแรงผลักกัน ได้ขึ้นอยู่กับระยะห่างระหว่างเข็มปลายแหลมกับพื้นผิว ดังแสดงในภาพที่ 2-21



ภาพที่ 2-20 องค์ประกอบหลักของเครื่องมือ Scanning Probe Microscope

(<http://www2.polito.it/ricerca/micronanotech/Strumenti/SPM.html>)

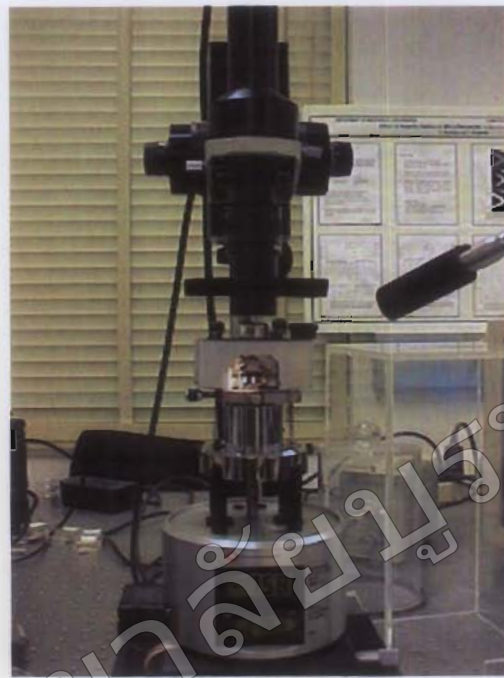


ภาพที่ 2-21 ลักษณะของแรงกระทำระหว่างอะตอมที่เกิดขึ้นในระยะห่างระหว่างวัตถุต่าง ๆ

(<http://www.science.siu.edu/chemistry/zang/afm.html>)

เทคนิค AFM สามารถแบ่งได้หลายวิธีตามลักษณะการเก็บข้อมูล ซึ่งจะได้ก่อตัวถึงในหัวข้อต่อไปอย่างไรก็ตาม ไม่ว่าจะเป็นการใช้ AFM วิธีใด แรงกระทำที่เกิดขึ้นจะมีการเปลี่ยนแปลงไปตามสภาพพื้นผิว (Topography) ของวัสดุ

ภาพที่ 2-22 แสดงให้เห็นถึงเครื่อง Atomic Force Microscope รุ่น NanoScopellla บริเวณตรงกลางเป็นบริเวณที่ใช้วางชิ้นงาน โดยมีเข็มวัดวางอยู่ด้วย ส่วนที่บริเวณด้านบนของเครื่องมือจะมีกล้องจุลทรรศน์วิดีโอ (Video Microscope) ติดตั้งไว้ เพื่อใช้สำหรับดูตำแหน่งของเข็มที่จะทำการวังลงบนบริเวณต่าง ๆ บนผิว ภาพที่ได้จากการถ่ายจุลทรรศน์วิดีโอนี้จะแสดงทางจอโทรทัศน์นอกจากนี้ในบริเวณด้านบน จะมีแหล่งกำเนิดแสงเลเซอร์และไฟโตเดิตเตอร์ที่ใช้วัดการโค้งงอของคานี้



ภาพที่ 2-22 เครื่อง AFM แบบ Multimode (http://rcisgi.eng.ohio-state.edu/nlim/page_01.htm)

ลักษณะการเก็บข้อมูลด้วยเทคนิค AFM สามารถใช้เก็บข้อมูลได้ 4 แบบ (Mode) ที่สำคัญดังนี้คือ

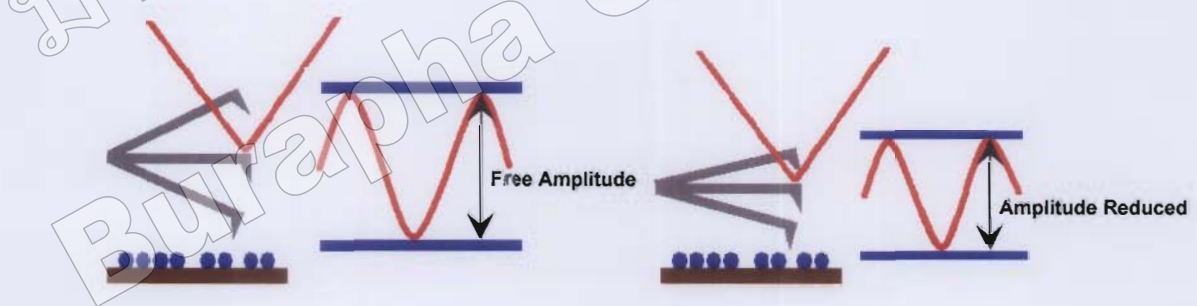
1. **แบบสัมผัส (Contact Mode)** เป็นการศึกษาสภาพผิวชั้นงานโดยการขยับให้เข้มใกล้ (Slide) ไปบนผิวงานซึ่งจะทำให้มีแรงผลักเดินขึ้น เนื่องจากเข้มกับผิวงานจะอยู่ใกล้กันมาก แรงผลักนี้จะเปลี่ยนแปลงไปตามสภาพผิวซึ่งจะทำให้มีการโถงตัว (Deflection) ของคานยื่น (Cantilever) ที่มีเข็มขัดเกาะอยู่ที่ปลาย โดยปริมาณการโถงตัวจะเปลี่ยนแปลงสอดคล้องเป็นไปตามลักษณะของผิวงาน

อย่างไรก็ตาม เทคนิคแบบ แบบสัมผัสนี้มีข้อเสียคือ การลากให้เข้มตรวจวัดเคลื่อนที่ ไอลข้ามไปยังบริเวณต่าง ๆ บนผิวงาน อาจจะทำให้พื้นผิวสุดที่กำลังศึกษาต่างไปจากสภาพเดิม ที่แท้จริง หรืออาจเกิดความเสียหายขึ้นแก่ผิวงานได้ ยกตัวอย่าง เช่น ภายใต้สภาพบรรยายกาศปกติ ซึ่งมีอากาศและความชื้นในอากาศ อาจจะเกิดหยดน้ำหรือสิ่งสกปรกบนผิวงาน ซึ่งเมื่อเข้มวัดเคลื่อนที่ไปสัมผัสถกับผิวที่มีรั้นมาก ๆ ของหยดน้ำและสิ่งสกปรกดังกล่าว จะทำให้มีแรงดึงไฟฟ้าสถิตและแรง **ดึงผิวดึงให้ตัวคนที่มีรั้นมาก** ๆ ของหยดน้ำและสิ่งสกปรกดังกล่าว ทำให้แรงระหว่างเข้มกับผิวงานที่เกิดขึ้นโดยรวมเปลี่ยนแปลงไป นอกจากนี้ ยังอาจทำให้ผิวงานถูกทำลาย เช่น เกิดการหลีกข้ามจากการลากให้เข้มไปบนผิวงาน

2. แบบไม่สัมผัส (Non-Contact Mode) เพื่อที่จะหลีกเลี่ยงปัญหาดังกล่าวข้างต้น จึงได้มีการพัฒนาเทคนิคแบบไม่สัมผัส ขึ้นมา โดยในที่นี้ ตัวเข็มปลายแหลมจะถูกยกขึ้นมาให้มีระยะห่างเหนือผิวงานสูงมากขึ้น คือประมาณ 10 - 100 Å จึงไม่มีปัญหาเรื่องการทำลายโครงสร้างผิวงาน โดยในกรณีนี้ แรงกระทำระหว่างตัวคานที่มีเข็มปลายแหลมยืดเคาะอยู่กับผิวงานจะเป็นลักษณะแรงดึงดูด ซึ่งจะเปลี่ยนแปลงไปตามรูปทรงของสภาพผิวงาน เช่นเดียวกัน

วิธีนี้มีข้อจำกัดเกี่ยวกับความละเอียดของภาพที่เกิดขึ้น นั่นคือ แรงดึงดูดประเภทแวนเดอร์วัลลส์ (Van Der Waals) ที่เกิดขึ้นในการนีจะเป็นแรงที่อ่อนกว่าเมื่อเทียบกับแรงผลักที่เกิดขึ้นในการนีของ Contact Mode ดังนั้นการตรวจสอบอาจไม่ Sensitive ต่อสิ่งแปลกปลอมที่อยู่บนผิวงาน เช่น หยดน้ำที่เกาะอยู่บนผิว

3. แบบแทะปิง (Tapping Mode) เป็นเทคนิคที่รวมเอาลักษณะของการวัดทั้งในแบบของแบบสัมผัส และแบบไม่สัมผัส เข้าด้วยกัน กล่าวคือ ยังคงให้มีการสัมผัสนั้นระหว่างเข็มกับผิวงาน ในระยะที่ใกล้กันมาก เหมือนกับนิยมของแบบสัมผัส เพื่อให้เกิดภาพที่ชัดเจน ในขณะเดียวกัน จะมีการสั่นหรือขับเข็มปลายแหลมให้เคลื่อนที่ขึ้นลง ไปพร้อม ๆ กับการเคลื่อนที่สแกนไปยังบริเวณต่าง ๆ บนผิวงาน ดังนั้นจึงเป็นการหลีกเลี่ยงปัญหาการลากไกด์เข็มปลายแหลม ซึ่งจะทำให้เกิดการทำลายสภาพของผิวงานได้ เมื่อนำมาใช้แบบสัมผัส



ภาพที่ 2-23 ลักษณะการสั่นของคานที่มีเข็มติด

(<http://www.nanocraft.de/kompetenz/tapping/tapping.html>)

ภาพที่ 2-23 แสดงการสั่นของคานในสภาวะอิสระหรือตอนเริ่มต้นที่ยังไม่เกิดการสัมผัส และขับเคลื่อนที่ไปบนผิวงาน จะเห็นได้ว่าแอนเพลิจูดจะยังสูงอยู่เมื่อเทียบกับแอนเพลิจูดที่เกิดจาก การสั่นของคานเมื่อมีการแตะสัมผัส (Tapping) ลงบนผิวงาน เนื่องจากในการสัมผัสนั้นจะมี การสูญเสียพลังงานของการสั่น ทำให้แอนเพลิจูดของการสั่น (Oscillation Amplitude) ลดลง ซึ่งค่าที่ลดลงนี้จะเป็นตัววัดและบอกถึงลักษณะของสภาพพื้นผิวที่มีความสูงต่ำแตกต่างกันไป

ตัวอย่างเช่น เมื่อเข้มตรวจค่าเคลื่อนที่ผ่านบริเวณผิวงานที่มีความนูนสูงขึ้นมา ตัวคานก็จะมีพื้นที่หรือแอมเพลจูดในการสั่นลดลง ในทางตรงข้าม เมื่อเข้มปลายแหลมเคลื่อนที่ผ่านบริเวณผิวที่มีการยุบตัวหรือมีความลึกลงไป ตัวคานก็จะมีพื้นที่ในการสั่นเพิ่มขึ้น และมีแอมเพลจูดสูงขึ้น (เข้าใกล้แอมเพลจูดสูงสุดในสภาพที่ยังไม่มีการทำการสแกน) แอมเพลจูดของการสั่นที่เปลี่ยนแปลงไปก็จะถูกวัดโดยแอมเพลจูดดิเตกเตอร์ (Amplitude Detector) แล้วส่งผลเข้าไปยังตัวควบคุมซึ่งจะทำการวัดสัญญาณพร้อมทั้งปรับระยะระหว่างเข็มกับผิวงาน เพื่อรักษาให้ค่าแอมเพลจูดของการสั่นให้คงที่ต่อไป จนกว่าจะมีการเปลี่ยนแปลงของแอมเพลจูดของการสั่นตามสภาพพื้นผิวในบริเวณตัดไป

4. แบบโมดูลেชัน (Force Modulation Mode) ของแรงสำหรับพื้นผิวของวัสดุที่มีองค์ประกอบหลายเฟส พบร่วมกับเทคนิค AFM ในวิธีแบบ แบบโมดูละชันของแรง จะเป็นที่นิยมใช้มากโดยเทคนิคนี้จะเป็นการวัดและสร้างภาพของพื้นผิวขึ้นงานที่มีความแตกต่างของความแข็งแกร่ง (Stiffness) ในแต่ละเฟสสูง โดยในกรณีตัวเข็มจะสแกนไปในลักษณะที่มีการสั่นในแนวตั้งฉาบกับผิววัสดุด้วยแอมเพลจูดเดือน้อย แต่จะมีความเร็วในการสั่นที่สูงกว่าการเคลื่อนที่สแกนของเข็ม และเมื่อตัวเข็มถูกหน้าเข้ามาแตกสับกับผิววัสดุก็จะเกิดแรงต่อต้านจากผิวของวัสดุที่เกิดจาก การสั่นและทำให้ตัวคานงอ และถ้าหากว่าเราให้แรงที่ทำให้ตัวคานสั่นคงที่ พื้นผิบริเวณที่แข็งกว่าจะทำให้เกิดการต่อต้านต่อการสั่นในแนวตั้งของตัวคานมากกว่า และจึงทำให้ตัวคานงอมากกว่า ดังนั้น การเปลี่ยนแปลงของแอมเพลจูดที่เกิดจากการโก่งของตัวคานจึงนำมาใช้วัดเปรียบเทียบความแข็งที่บริเวณต่าง ๆ ของผิวงาน

หลักการของวิธีแบบแทปปิงกับแบบ โมดูละชันของแรงคล้ายกันที่มีการสั่นของเข็มในแนวตั้งพร้อมกับมีการสแกนไปบนพื้นผิวขึ้นงาน อย่างไรก็ตามทั้ง 2 เทคนิค จะมีความแตกต่างกัน คือในกรณีแบบ โมดูละชันของแรง จะสั่นด้วยความเร็วสูงกว่า (สูงกว่าความเร็วในการสแกน) และการวัดแอมเพลจูดที่เกิดจากการบิดของผิวงาน เป็นการวัดเนื่องจากผลของแรงต้านการสั่น เมื่อมีการสัมผัสของเข็มกับผิวงานในขณะที่ แบบแทปปิง จะเป็นการวัดการเปลี่ยนแปลงแอมเพลจูดของการสั่นของผิวงานที่เปลี่ยนแปลงไป (ลดลง) เนื่องมาจากมีการสูญเสียพลังงานไปเมื่อมีการสัมผัสผิวงานที่มีระดับความสูงต่างกัน

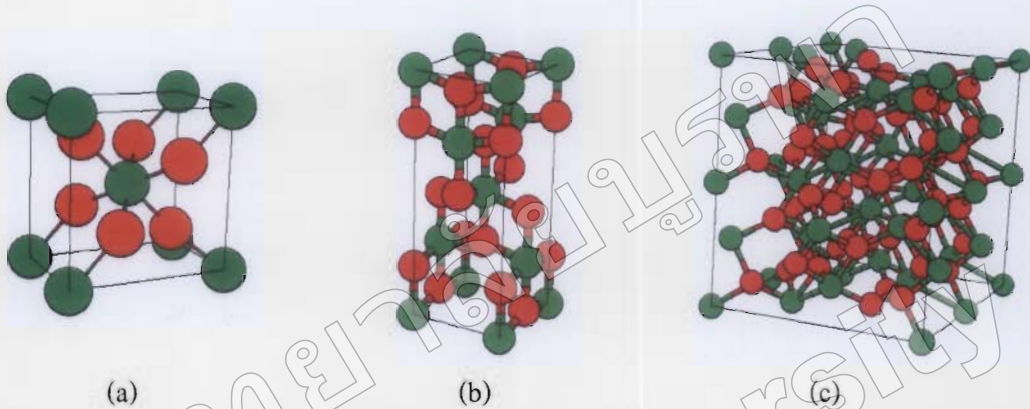
ไทเทเนียมไดออกไซด์

โครงสร้างของ ไทเทเนียมไดออกไซด์ (Titanium Dioxide; TiO_2) เกิดจากอะตอมของ ไทเทเนียมจับกับอะตอมของออกซิเจน ซึ่งการจับกันมีอยู่ด้วยกันหลายลักษณะ เพราะ ไทเทเนียม มีประจุเป็น Ti^0 , Ti^{2+} , Ti^{3+} และ Ti^{4+} ส่วนออกซิเจนมีประจุเป็น O_2^- ทำให้มีโอกาสรวมกันเป็น TiO ที่มีโครงสร้างเป็นเฟสเซ็นเตอร์ คิวบิก (Face Center Cubic, FCC) (TiO_x ($0.9 \leq x \leq 1.5$)) ซึ่งเป็น พิล์มที่มีความแข็งมาก Ti_2O_3 มีโครงสร้างเป็น ไตร โภโนล (Trigonal) และ TiO_2 มีโครงสร้างเป็น เตตระ โภโนล (Tetragonal) ซึ่งเป็นพิล์มที่มีดัชนีหักเหสูง เป็นต้น โครงสร้างเหล่านี้มีการจับตัวกัน ด้วยพันธะเคมี ไออ้อนิก (Ionic) โคเวเลนต์ (Covalent) และพันธะ โลหะ (Metallic) พิล์มเหล่านี้ มีลักษณะที่ โปร่งแสง และจากการศึกษาสีของพิล์มจะเปลี่ยนตามโครงสร้าง นั่นคือเปลี่ยนไปตาม ปริมาณออกซิเจนที่ให้ โดยจะค่อย ๆ เปลี่ยนจากสีเหลืองทอง (Golden Yellow) คือ TiO_{1+x} ($0 \leq x \leq 0.25$) ไปเป็นน้ำตาล (Brown) ไปเป็นสีน้ำเงินเข้ม (Dark Blue) และ ไปเป็นโปร่งใสไม่มีสี (Transparent) คือ TiO_{1+x} ($0.95 \leq x \leq 1$) (Bally, 1998)

Jin et al. (2003) ยังบอกรายงานว่า ไทเทเนียมไดออกไซด์เป็นสารประกอบออกไซด์ชนิดหนึ่ง ที่ได้รับความสนใจจากกลุ่มวิจัยทั่วโลกในการศึกษาวิจัยและพัฒนา เนื่องจากเป็นสารประกอบ ออกไซด์ที่มีสมบัติที่น่าสนใจ หลากหลายประการ โดยเฉพาะอย่างยิ่งสมบัติทางแสง เช่น สมบัติ การส่งผ่านแสง มีค่าดัชนีหักเหสูง มีเสถียรภาพทางเคมี จากสมบัติต่าง ๆ ที่โดดเด่นนี้ ทำให้มีการนำ ไทเทเนียมไดออกไซด์ไปประยุกต์ใช้อย่างกว้างขวาง ทั้งในงานด้านหัศศิศาสตร์และการเคลือบ เพื่อป้องกัน รวมทั้งงานทางด้านเส้นใยแก้วนำแสง ตลอดรวมถึงการใช้เคลือบกระจกที่มีสมบัติ เป็นโพโตคัตติคิลิกด้วย

Zeman and Takabayashi (2002) รายงานว่า โดยทั่วไปแล้ว ไทเทเนียมไดออกไซด์ จะแบ่งออกเป็น 3 เฟส ได้แก่ เฟส ไทรุติล (Rutile) เฟสอโนเทส (Anatase) และเฟสบรู๊กอิต (Brookite) ซึ่งเฟสอโนเทสและเฟส ไทรุติล มีโครงสร้างผลึก (Crystal Structure) เป็นแบบเตตระ โภโนล (Tetragonal) ส่วนเฟสบรู๊กอิต มีโครงสร้างเป็นแบบของร์ ไทรอมบิก (Orthorhombic) เฟสของพิล์ม ไทเทเนียมไดออกไซด์ต่างชนิดกันจะมีประโยชน์ในการใช้งานที่แตกต่างกัน เช่น พิล์มไทเทเนียม ไดออกไซด์เฟสอโนเทส จะมีสมบัติเป็นตัวเร่งปฏิกิริยาเชิงแสง และสามารถนำไปใช้ประโยชน์ใน ด้านเกี่ยวกับการป้องกันสิ่งแวดล้อม เช่น กระจกที่มีสมบัติโพโตคัตติส ส่วนพิล์มไทเทเนียม ไดออกไซด์ในเฟส ไทรุติล จะมีความสามารถในการทำอุปกรณ์ที่ใช้ในร่างกาย เช่น ลิ้นหัวใจเทียม เป็นต้น

การเตรียมพิล์มนบาง ไทเทเนียม ไดออกไซด์ สามารถทำได้หลายวิธีและขึ้นอยู่กับเงื่อนไขต่าง ๆ ในกระบวนการเตรียมพิล์มน จากนั้นนำพิล์มนบางที่ได้ไปวิเคราะห์ด้วยเครื่อง XRD เพื่อศึกษารูปแบบการเลี้ยวเบนของรังสีเอกซ์ และเปรียบเทียบตำแหน่งของพิกัดที่เกิดขึ้นกับฐานข้อมูลการเลี้ยวเบนของรังสีเอกซ์ของหลักพง ไทเทเนียม ไดออกไซด์ (Joint Committee on Powder Diffraction Standard, JCPDS)



ภาพที่ 2-24 เพศของไทเทเนียม ไดออกไซด์ (<http://cst-www.nrl.navy.mil/lattice/struk.picts/c4.s.png>)

- (a) เพศรูไทล์
- (b) เพสโนนาเตส
- (c) เพสนูไกท์

ตารางที่ 2-2 ข้อมูลการเดี่ยวเบนของรังสีเอกซ์ของผลึกไทเทเนียมไดออกไซด์เฟสонаเทส

Pattern: 71-1169		Radiation = 1.540600				
TiO_2 (Anatase/ Titanium Oxide)		d (Å)	Intensity (%)	h	k	l
Lattice: Tetragonal		3.53718	100	1	0	1
S.G.:P42/ mnm (136)		2.45087	6	1	0	3
a = 3.80400		2.40350	18	0	0	4
c = 9.61400		2.34733	7	1	1	2
	z = 4	1.90200	22	2	0	0
		1.71604	13	1	0	5
		1.67518	13	2	1	1
ICSD COLLECTION CODE: 009855		1.50261	2	2	1	3
REMARKS FROM ICSD: REM TEM 1073.		1.49149	9	2	0	4
TEST FROM ICSD: Calc. density usual but tolerable.		1.37659	4	1	1	6
TEMPERATURE FACTOR: ITF		1.34492	4	2	2	0
SAMPLE SOURCE OR LOCALITY: Specimen from Binnatal, Wallis, Switzerland.		1.29181	<1	1	0	7
		1.27411	6	2	1	5
		1.25711	2	3	0	1
		1.20175	<1	0	0	8
		1.17906	<1	3	0	3
		1.17367	3	2	2	4

*Calculated from ICSD using POWD-12++, (1997)

*Kristallogr, Kristallgeom, Kristallphys, and Kristallchem (1972)

ตารางที่ 2-3 ข้อมูลการถ่ายรูปแบบของรังสีเอกซ์ของผลึกไทเทเนียมไดออกไซด์ฟลูอิเดที่

Pattern: 73-1765		Radiation = 1.540600				
TiO_2 (Rutile/ Titanium Oxide)		d (Å)	Intensity (%)	h	k	l
Lattice: Tetragonal		3.24491	100	1	1	0
S.G.:P42/ mnm (136)	Mol. Weight = 79.90	2.48387	46	1	0	1
a = 4.58900	Volume [CD] = 62.21	2.29450	6	2	0	0
c = 2.95400	Dx = 4.266	2.18442	17	1	1	1
	z = 2	2.05226	5	2	1	0
	I/Icor = 3.45	1.68543	45	2	1	1
		1.62246	14	2	2	0
ICSD COLLECTION CODE: 024277		1.47700	6	0	0	2
TEST FROM ICSD: No R Value given.		1.45117	6	3	1	0
TEST FROM ICSD: At least one TF missing.		1.42208	<1	2	2	1
		1.35835	13	3	0	1
		1.34429	7	1	1	2
		1.30249	1	3	1	1
		1.27276	<1	3	2	0
		1.24194	1	2	0	2
		1.19881	1	2	1	2
		1.16888	3	3	2	1
		1.14725	2	4	0	0
		1.11300	1	4	1	0
		1.09221	4	2	2	2

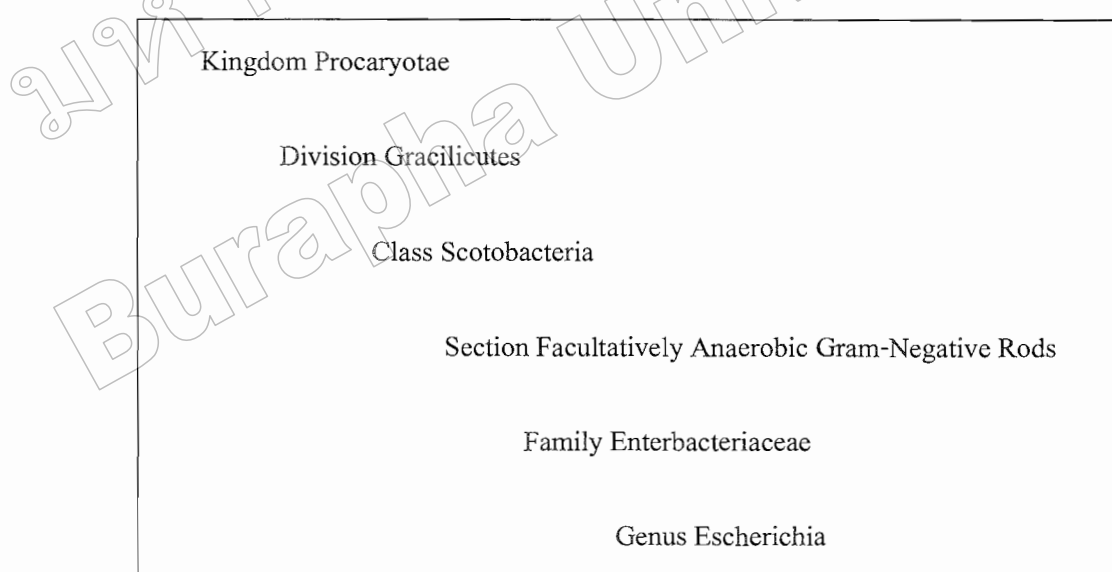
*Calculated from ICSD using POWD-12++, (1997)

*Kristallogr, Kristallgeom, Kristallphys, and Kristallchem (1942)

เชื้อ *Escherichia coli*

เชื้อ *Escherichia coli* หรือ *E. coli* เป็นแบคทีเรียชนิดหนึ่งที่ทำให้เกิดโรค พนได้ในบริเวณลำไส้เล็กตอนปลายและลำไส้ใหญ่ ทั้งของคนและสัตว์เลือดอุ่นซึ่ง โดยเชื้อ *E. coli* จัดเป็นแบคทีเรียที่อยู่ใน Enterobacteriaceas Family ดังภาพที่ 2-25

ทั้งนี้เชื้อ *E. coli* ที่ทำให้เกิดโรค แบ่งออกเป็น 5 ชนิด คือ Enterotoxigenic *E. coli* (ETEC), Enteropathogenic *E. coli* (EPEC), Enteroinvasive *E. coli* (EIEC), Enteroaggregative *E. coli* (EAEC) และ Enterohemorrhagic *E. coli* (EHEC) สำหรับลักษณะของเชื้อ *E. coli* มีลักษณะเป็นแท่งตรง โดยปกติแล้วเชื้อ *E. coli* จะถูกทำลายหมดสิ้นที่อุณหภูมิ 60° C ระยะเวลา 30 นาที เชื้อ *E. coli* เป็นเชื้อแบคทีเรียที่ไม่สร้างสปอร์ สามารถเจริญได้ทั้งในที่มีและไม่มีออกซิเจน และข้อมติดสีแกรมลบ (Gram-Negative) เจริญเติบโตได้ดีในอาหารเลี้ยงเชื้อรรมดาที่อุณหภูมิ 37° C แต่ก็สามารถเจริญได้ที่อุณหภูมิระหว่าง $8 - 47^{\circ}\text{ C}$ ส่วนโครงสร้างทางซีรัมวิทยา (Serology) มีลักษณะเป็นแอนติเจน (Antigenicity) ถ้าแยกตามความแตกต่างของลักษณะทางแอนติเจน จะสามารถแยกเชื้อ *E. coli* ได้ 4 ชนิด คือ แอนติเจน O (Cell Wall) แอนติเจน K (Capsular) แอนติเจน H (Flagellar) และแอนติเจน F (Fimbrial) (Tsuang et al., 2008)



ภาพที่ 2-25 Enterobacteriaceas Family ของเชื้อ *E. coli*

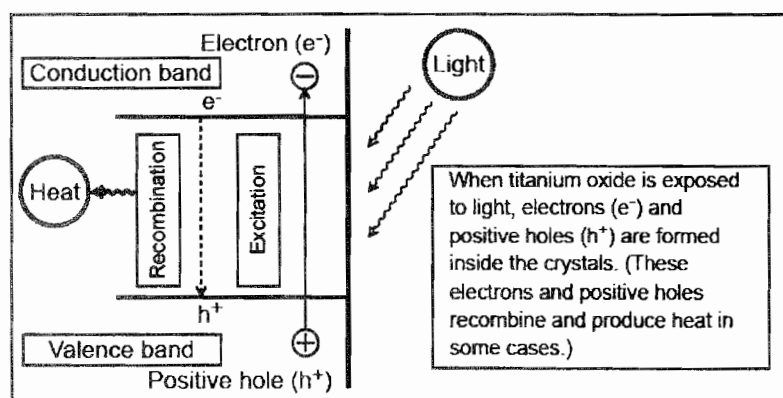
กระบวนการฟ็อโตคตัลไชส์

กระบวนการฟ็อโตคตัลไชส์ (Photocatalysis) เป็นกระบวนการคุณซับฟ็อกอนที่มีพลังงานมากกว่าแถบพลังงาน (Band Gap) ของสารกึ่งตัวนำ ทำให้อิเล็กตรอนอิสระในแถบวาเลนซ์ (Valence Band) เคลื่อนย้ายจากแถบวาเลนซ์ไปยังแถบตัวนำ เมื่ออิเล็กตรอนเคลื่อนย้ายจากแถบวาเลนซ์ไปยังแถบตัวนำ (Conduction Band) จะเกิดโอล (Hole, h^+) นอกจากนั้นยังอาจมีปฏิกิริยาระหว่างอะตอมข้างเคียงของสารกึ่งตัวนำ และเรียกปฏิกิริยาที่เกิดขึ้นนี้ว่า “ปฏิกิริยาการใช้แสง”

หลักการของกระบวนการฟ็อโตคตัลไชส์ ประกอบด้วย 2 ขั้นตอน คือ

1. การฉายแสง (Irradiation Process) เมื่อมีอนุภาคสารกึ่งตัวนำที่ถูกอนุภาคของแสง ซึ่งมีพลังงานเท่ากับหรือสูงกว่าช่องว่างพลังงาน (E_g) ตกกระทบผิวน้ำอนุภาคสารกึ่งตัวนำ ทำให้อิเล็กตรอนถูกกระตุ้น เปลี่ยนที่อยู่จากแถบวาเลนซ์ไปยังแถบตัวนำทำให้เกิดสภาวะขาดแคลนอิเล็กตรอนที่แถบวาเลนซ์ เรียกว่าโอล (Hole) ซึ่งอิเล็กตรอนและโอล มีบทบาทในการเกิดปฏิกิริยาออกซิเดชันรีดักชัน โดยอิเล็กตรอนสามารถเกิดปฏิกิริยารีดักชันกับไอออนทำให้เกิดการลดออกซิเดชันสเตต

2. การเกาะหรือคุตติดผิว (Adsorption Process) เป็นความสามารถของสารในการดึงโมเลกุล หรือคอลลอยด์ซึ่งอยู่ในของเหลวหรือก๊าซให้มเกาะจับและติดบนผิวของตัวเร่งปฏิกิริยา (Catalyst) ปรากฏการณ์นี้จะเป็นการเคลื่อนย้ายสารจากของเหลวหรือก๊าซมาจับผิวของแข็ง หรือคอลลอยด์ เรียกว่าตัวถูกคุณซับ (Adsorbate) ส่วนของแข็งที่มีพิเศษเป็นที่เกาะจับเรียกว่า ตัวคุณซับ (Adsorbent) การเกาะจับของโมเลกุลบนผิวของตัวเร่งปฏิกิริยา อาจเกิดขึ้นด้วยแรงทางกายภาพหรือด้วยแรงเคมีหรือทั้งสองอย่างรวมกัน ส่วนในกระบวนการฟ็อโตคตัลไชส์ การคุณซับจะเกิดจากแรงทางเคมีเป็นหลัก (Skorb et al., 2008)



ภาพที่ 2-26 การเกิดคู่อิเล็กตรอน-โอลของกระบวนการฟ็อโตคตัลไชส์

งานวิจัยที่เกี่ยวข้อง

Chiu et al. (2007) ศึกษาผลของอัตราไหลแก๊สในโตรเจนที่นีต่อโครงสร้างจุลภาคและสมบัติโฟโตคatalytic ไอลติกของฟิล์มบาง ไทเทนเนียม ไดออกไซด์ที่เคลือบด้วย วิชีดิซีรีแอคตีฟ แมกนีตรอน สปีดเตอริง อัตราไหลแก๊สในโตรเจนอยู่ในช่วง 0 - 20 ml/min และให้สัดส่วนไอลติกส่วนใหญ่เป็นแบบอนาเทส และมีโครงสร้างพลีกแบบรู ไทล์ปนอยู่เล็กน้อย และเมื่ออัตราไหลแก๊สในโตรเจนเพิ่มขึ้นทำให้ ฟิล์มบางมีความเป็นพลีกลดลง เกรนมีขนาดใหญ่ขึ้น ความหนาแน่นลดลง ความหยาบผิวมีค่า เพิ่มขึ้น และที่อัตราไหลแก๊สในโตรเจนเท่ากับ 20 ml/min พบร่วมกับเกรนมีขนาดเล็กและจัดเรียงตัวกันอยู่หนาแน่น ทั้งนี้การเพิ่มอัตราไหลแก๊สในโตรเจนทำให้แบบพลังงานมีค่าลดลง โดยมีค่าอยู่ระหว่าง $3.15 - 3.35 \text{ eV}$ ฟิล์มบางแสดงสมบัติโฟโตคatalytic ไอลติกมากขึ้นและลดลง โดยที่อัตราไหลแก๊สในโตรเจนเท่ากับ 5 ml/min ฟิล์มบางแสดงสมบัติโฟโตคatalytic ได้ดีที่สุด

Prabakar et al. (2008) ศึกษาการเพิ่มอัตราไหลแก๊สในโตรเจนในกระบวนการเคลือบ ฟิล์มบาง ไทเทนเนียม ไดออกไซด์ด้วยวิชีดิซีรีแอคตีฟ แมกนีตรอน สปีดเตอริง จากนั้นนำฟิล์มบางที่เคลือบได้มาวิเคราะห์โครงสร้างพลีกด้วยเทคนิค XRD วัดความหนาด้วยเครื่อง Surface Profiler วัดค่าการส่งผ่านแสงด้วยเครื่องสเปกโตรมิเตอร์และทดสอบสมบัติโฟโตคatalytic ไอลติกด้วยเทคนิค FTIR จากการศึกษาพบว่าฟิล์มที่เคลือบได้มีโครงสร้างพลีกส่วนใหญ่เป็นแบบอนาเทสโดยมีโครงสร้างพลีกแบบรู ไทล์ปนอยู่เล็กน้อย และเมื่ออัตราไหลแก๊สในโตรเจนเพิ่มขึ้น พบร่วมกับฟิล์มนิมีความเป็นพลีกมากขึ้นและลดลง มีการดูดกลืนแสงที่ความยาวคลื่นสูงขึ้นและมีการดูดกลืนแสงที่ความยาวคลื่นต่ำลง มีค่าแบบพลังงานอยู่ระหว่าง $2.8 - 3.1 \text{ eV}$ โดยที่อัตราไหลแก๊สในโตรเจนเท่ากับ 2 sccm ฟิล์มบางมีค่าแบบพลังงานต่ำที่สุดและการดูดกลืนแสงเปลี่ยนจากความยาวคลื่น 390 nm เป็น 490 nm.

Amin, Pazouki, and Hosseinnia (2009) ได้ศึกษาความสามารถในการต่อต้านเชื้อ *Escherichia coli* (*E. coli*) ของวัสดุนาโนคอมโพสิตไทเทนเนียม ไดออกไซด์กับเงิน ($\text{TiO}_2\text{-Ag Nanocomposite}$) ที่เตรียมด้วยวิธีโซลเจล และนำชิ้นงานไปเผาที่อุณหภูมิ 300° C และ 500° C จากผลการเดี่ยวบนของรังสีเอกซ์ พบร่วมกับชิ้นงานที่ไม่ได้ถูกเผา มีโครงสร้างแบบอัลลอยด์ บนระนาบ (101) ที่มุม 25.3° และระนาบ (211) ที่มุม 55° นอกจากนี้ยังพบพิคของเงิน บนระนาบ (111), (211) และ (220) ที่มุม $38.1^\circ, 44.5^\circ$ และ 64.4° ตามลำดับ ส่วนชิ้นงานที่เผาบนอุณหภูมิ 500° C มีการเปลี่ยนแปลงจากโครงสร้างแบบอัลลอยด์เป็นโครงสร้างพลีกแบบอนาเทสอย่างเด่นชัด สำหรับการทดสอบความสามารถในการต่อต้านเชื้อ *E. coli* โดยการฉายแสงอัลตราไวโอเลต พบร่วมกับ

ชิ้นงานที่เผา ณ อุณหภูมิ 300°C มีความต้านทานเชื้อ *E. coli* ได้ดีกว่าชิ้นงานไทเทเนียม ไดออกไซด์ บริสุทธิ์ หรือชิ้นงานที่เผา ณ อุณหภูมิ 500°C

Caballero, Whitehead, Allen, and Verran (2009) ได้ศึกษาการขับยั้งการเจริญของ เชื้อ *E. coli* โดยการฉายแสงฟลูออเรสเซนต์ของฟิล์มไทเทเนียม ไดออกไซด์ที่เคลือบอยู่บนเยื่อกรอง (Membrane Filter) โดยใช้ไทเทเนียม ไดออกไซด์ ที่มีความเข้มข้นในช่วง $520 - 15,590 \text{ mg m}^{-2}$ และใช้แสงในช่วงความยาวคลื่นที่มองเห็น ได้และอัลตราไวโอล็อก ($290 - 400 \text{ nm}$) ความเข้มแสง $0.05 - 0.12 \text{ W m}^{-2}$ เป็นเวลานาน 120 นาที พบร่วมกับอัตราการเจริญของเชื้อ *E. coli* บนฟิล์มไทเทเนียม ไดออกไซด์เพิ่มขึ้นเมื่อความเข้มข้นของ ไทเทเนียม ไดออกไซด์ลดลง ซึ่งไทเทเนียม ไดออกไซด์ ความเข้มข้น 520 mg m^{-2} สามารถขับยั้งการเจริญของเชื้อ *E. coli* ได้ดีที่สุด และที่ความเข้มข้น สูงกว่า $6,236 \text{ mg m}^{-2}$ การเจริญของเชื้อ *E. coli* ลดลง

Krishna, Sun, and Chen (2011) ได้เตรียมฟิล์มไทเทเนียม ไดออกไซด์ ซึ่งเคลือบ ฟิล์มไทเทเนียม ไดออกไซด์บนสแตนเลส 316L ที่เป็นวัสดุรองรับ ด้วยวิธีนอน-รีแอคติฟ แมกนีตรอน สปัตเตอริง และศึกษาผลของชั้นรองพื้นไทเทเนียม (Ti-Underlayer) ที่มีต่อโครงสร้าง ของฟิล์มไทเทเนียม ไดออกไซด์ โดยพิจารณาจากสมบัติทาง โนโลยี (Tribological) และ การกัดกร่อน (Corrosion) พบร่วมกับชั้นรองพื้นไทเทเนียมมีผลต่อโครงสร้างของฟิล์มไทเทเนียม ไดออกไซด์อย่างมาก ถ้าไม่มีชั้นนี้จะเกิดฟิล์มไทเทเนียม ไดออกไซด์ที่มีโครงสร้างแบบอนาเทส แต่ถ้ามีชั้นรองพื้นไทเทเนียม ฟิล์มจะมีโครงสร้างแบบบูร์ไฟล์ นอกจากนี้ ความหนาของชั้นรองพื้น จะมีผลต่อกำลังที่ต้องการให้ฟิล์มไทเทเนียมเคลื่อนที่ $0.44 \mu\text{m}$ ใช้เวลา เคลื่อนนาน 60 นาที จะมีความแข็งสูง ยึดเกาะได้ดี ทนทานต่อการสึกกร่อน ได้ดีที่สุด

Wang, Tang, Li, and Ma (2011) ศึกษาการเจือในไตรเจนในชั้นเคลือบไทเทเนียม ไดออกไซด์ (N-TiO_2) บนสแตนเลส (304 Austenitic Stainless Steel; SS) ด้วยกระบวนการ ออกซิเดชัน โดยการทำให้ไทเทเนียม ไดออกไซด์เจือในไตรเจนที่ถูกเคลือบเกิดออกซิเดชัน โดยการใช้เทคนิคพลาสม่า และได้ศึกษาโครงสร้าง ทดสอบการกัดกร่อน และการต้านเชื้อ แบคทีเรีย พบร่วมกับริเวณผิวสแตนเลสที่เป็นวัสดุรองรับทั้งหมดถูกเคลือบด้วยไทเทเนียม ไดออกไซด์ เจือในไตรเจน และจากรูปแบบการเลี้ยวเบนของรังสีเอกซ์ ฟิล์มจะมีโครงสร้างผลึกแบบอนาเทส และการเจือในไตรเจนมีผลทำให้ฟิล์มต้านทานการผุกร่อน ได้ดีขึ้น ส่วนทดสอบการผ่าเชื้อ *S. aureus* โดยการฉายแสงพบว่าฟิล์มไทเทเนียม ไดออกไซด์เจือในไตรเจนมีความสามารถ ในการผ่าเชื้อ *S. aureus* ได้มากเมื่อเปรียบเทียบกับชุดควบคุมที่ไม่ได้เคลือบฟิล์ม